



Институт неорганической химии
им. А.В. Николаева
Сибирского отделения
Российской Академии Наук

В.П. Федин

Пористые координационные полимеры: от синтеза
и структуры к функциональным свойствам



www.niic.nsc.ru

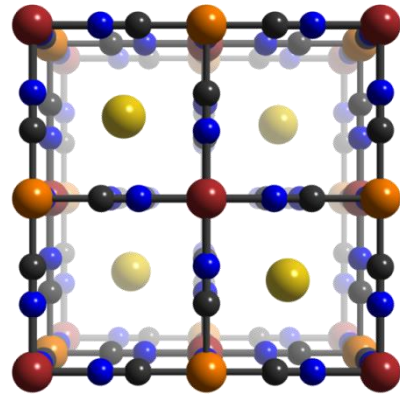
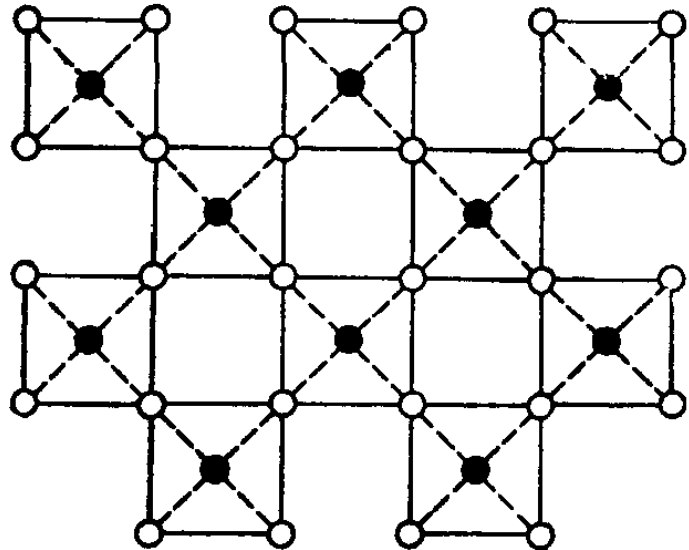
cluster@niic.nsc.ru

ПЛАН ЛЕКЦИИ

- 1) Введение
- 2) MOFs для сорбции и разделения
- 3) MOFs как сенсоры
- 4) MOFs для энантиоселективного разделения
- 5) Материалы с высокой протонной проводимостью
- 6) Заключение

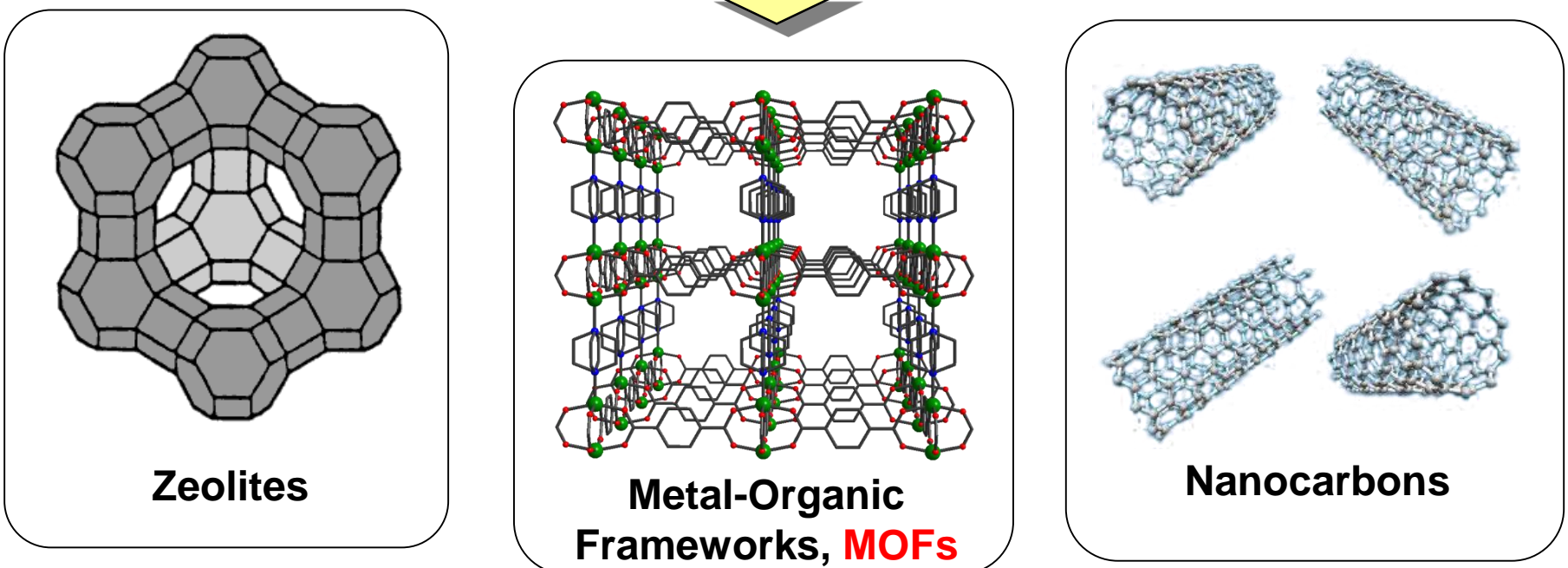
Координационные полимеры

Соединения с координационными связями металл-лиганд, в которых атомы металлов связаны мостиковыми лигандами с образованием регулярной структуры.



Питер ван дер Верфф, Погребение Христа (1709)

Примеры пористых материалов



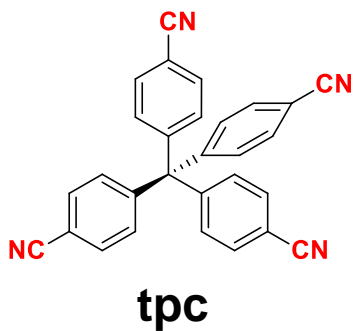
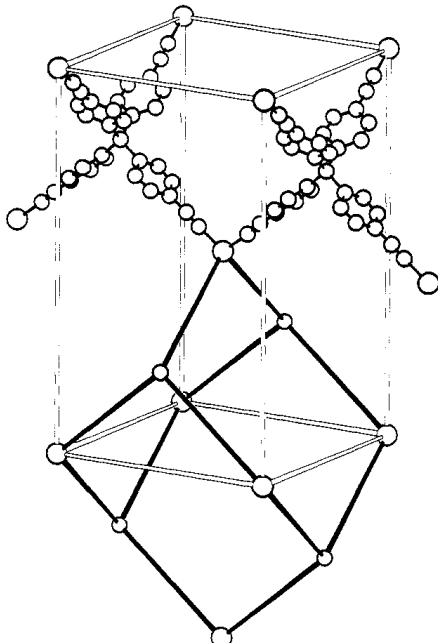
Zeolites

Metal-Organic
Frameworks, MOFs

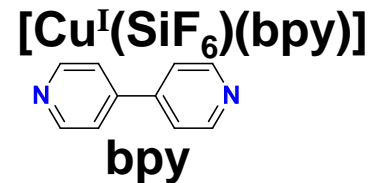
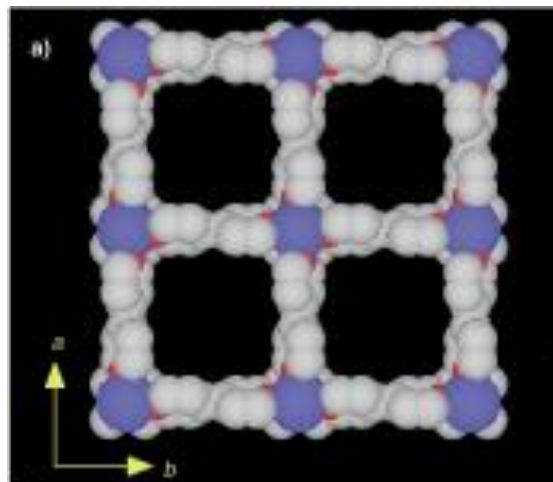
Nanocarbons

История MOF

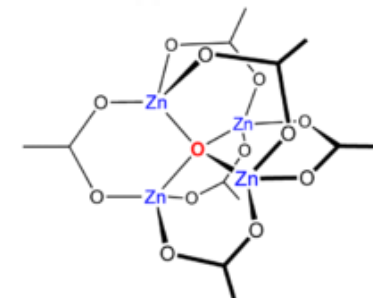
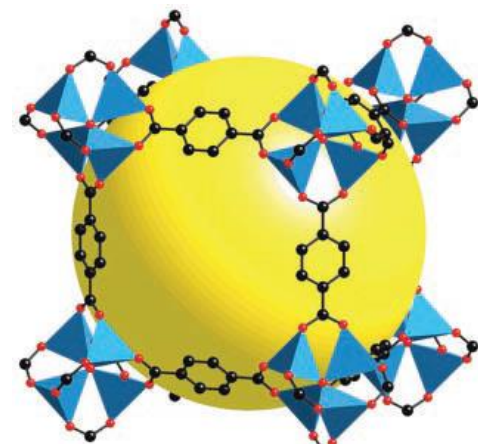
Hoskins B.F., Robson R.,
J. Am. Chem. Soc. **1989**



S. Noro, S. Kitagawa, et al.
Angew. Chem. Int. Ed. **2000**



O.M. Yaghi et. al.
Science, **2003**



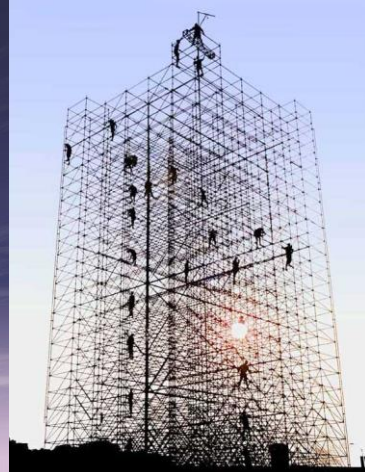
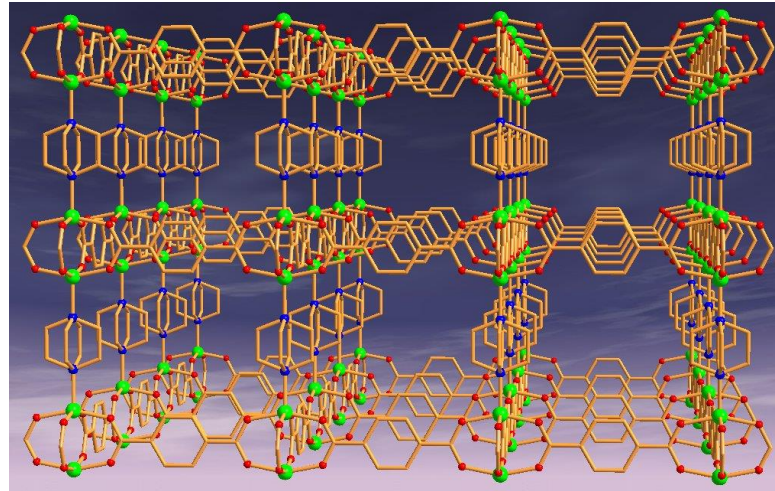
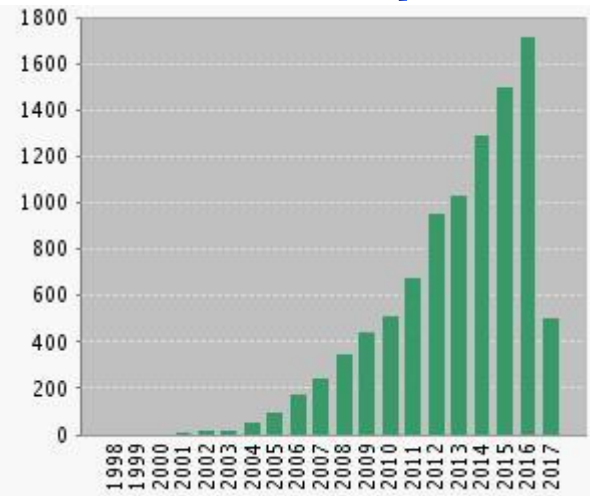
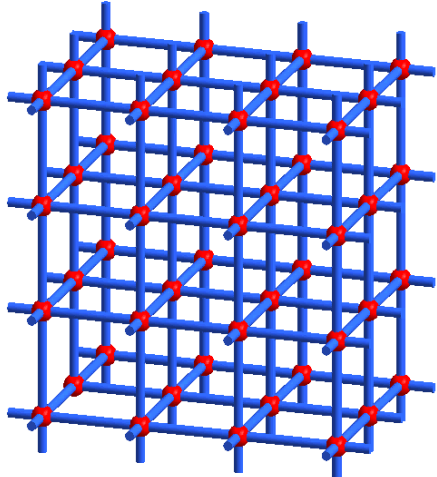
$[Zn_4O(bdc)_3]$ (MOF-5)



bdc^{2-}

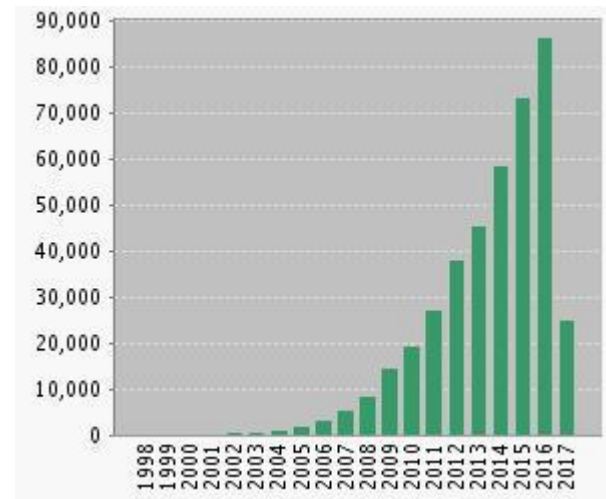
Porous coordination polymers (PCPs)

Metal-organic frameworks (MOFs)

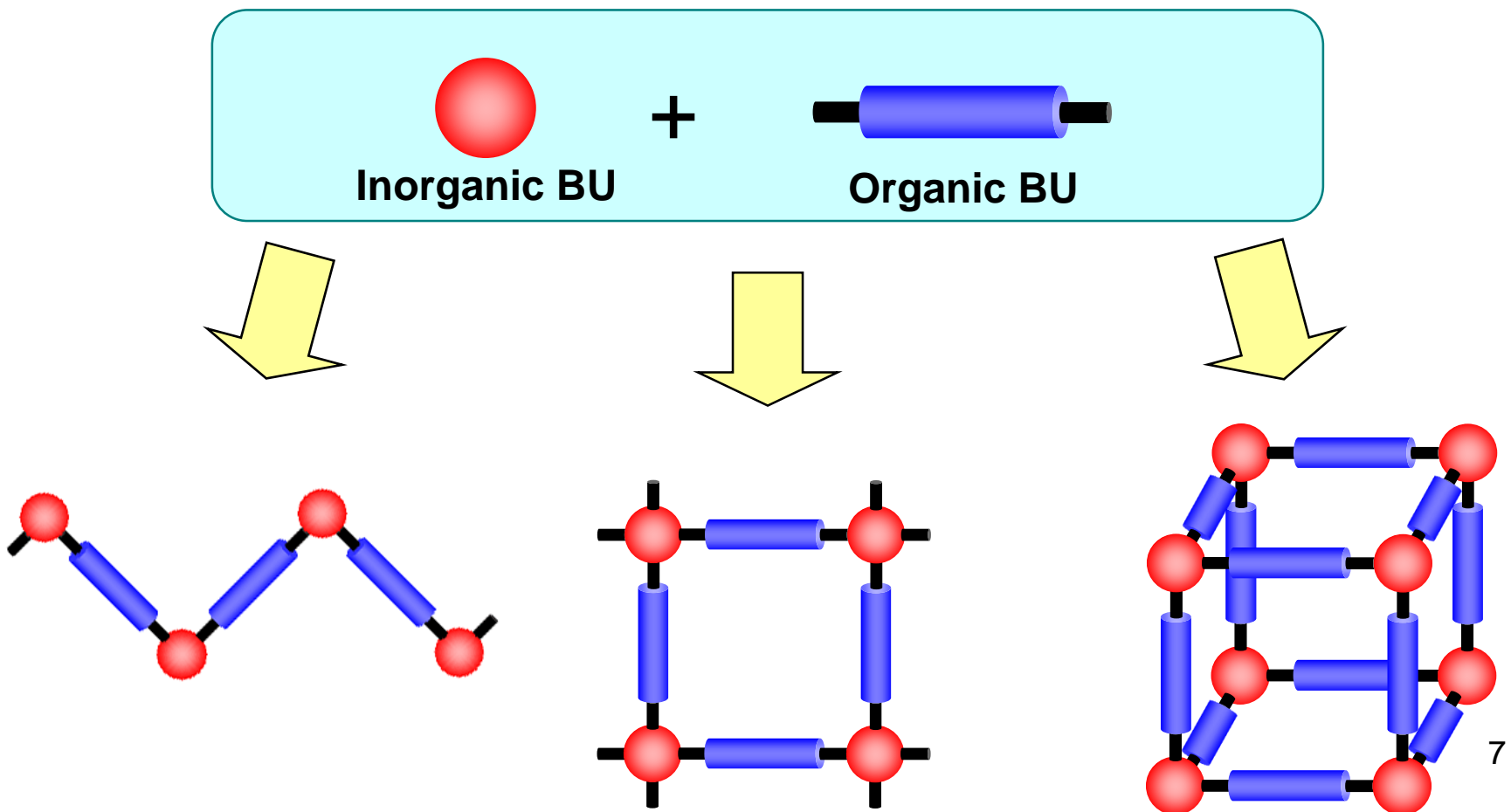


Web of Science
May 1, 2017
Search: **title/metal-organic framework**

h-index = 253 (!!!)



Metal-organic frameworks

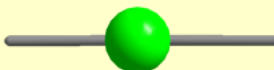


Building units

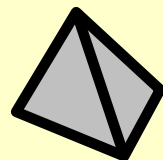
Inorganic BU



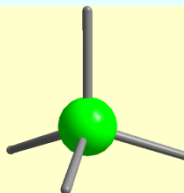
Linear



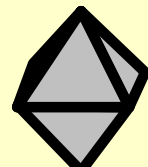
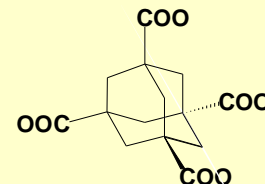
Triangular



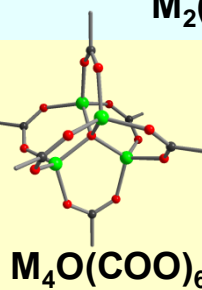
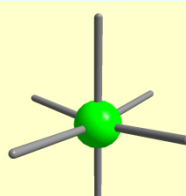
Tetrahedral



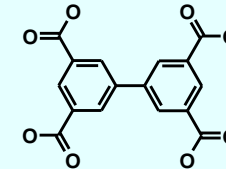
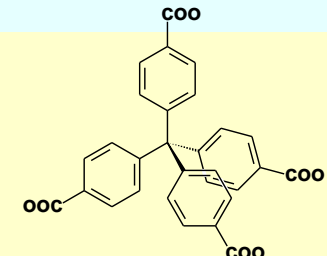
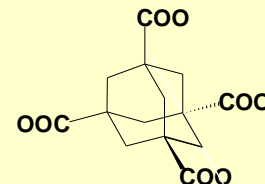
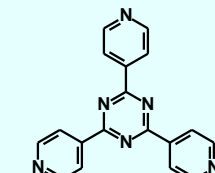
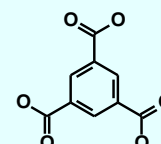
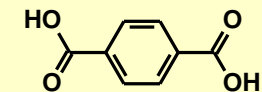
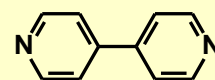
Square



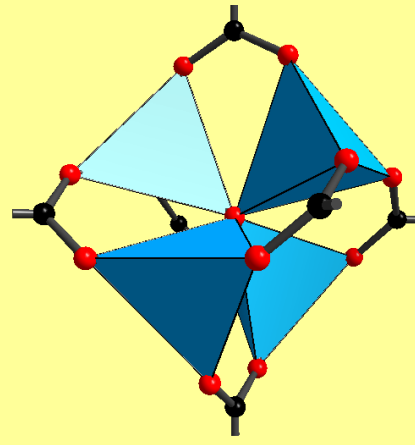
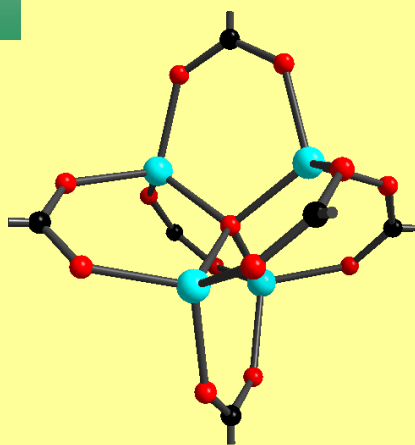
Octahedral



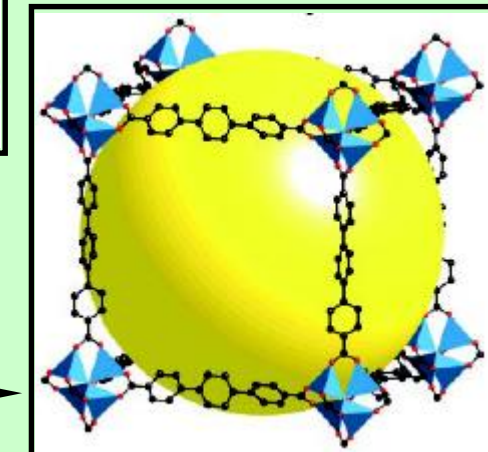
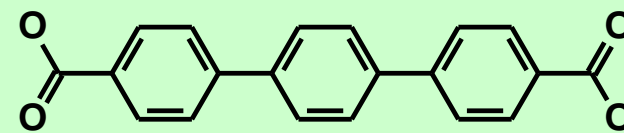
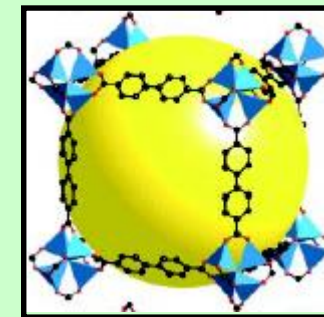
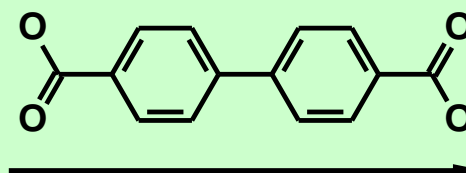
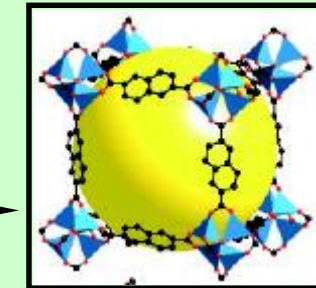
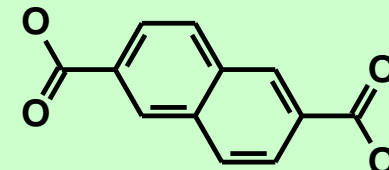
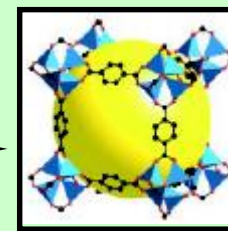
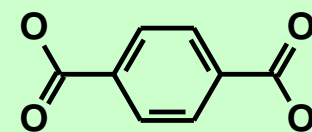
Organic BU



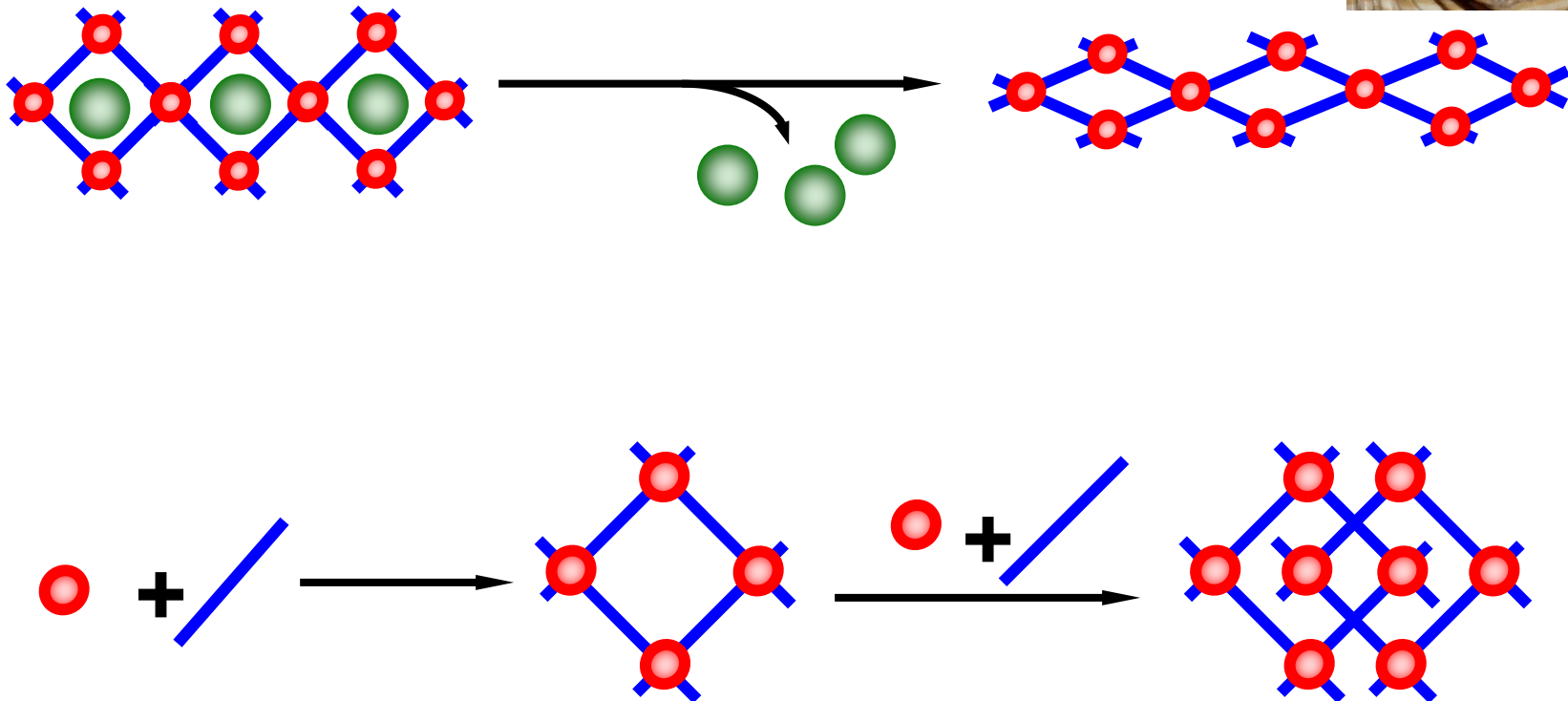
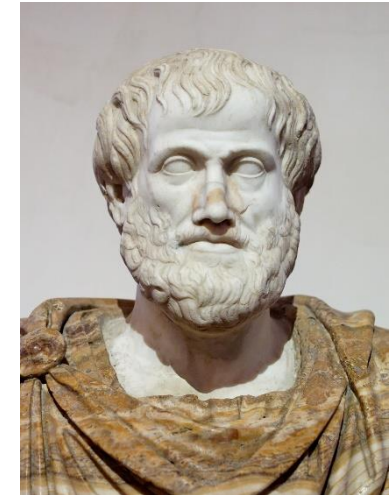
Примеры дизайна 3D пористых структур



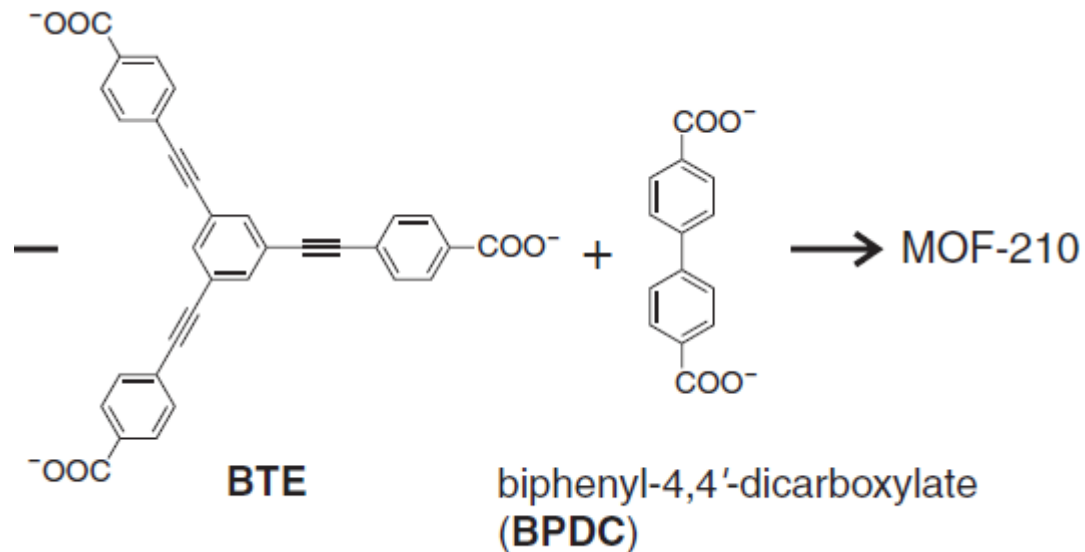
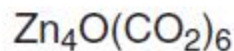
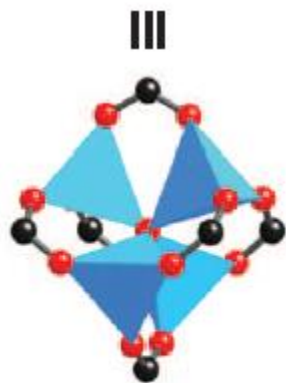
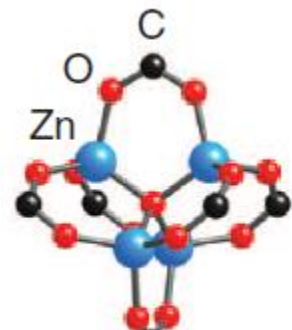
$[Zn_4O(OOC-R)_6]$
ВСБ



Natura abhorret vacuum

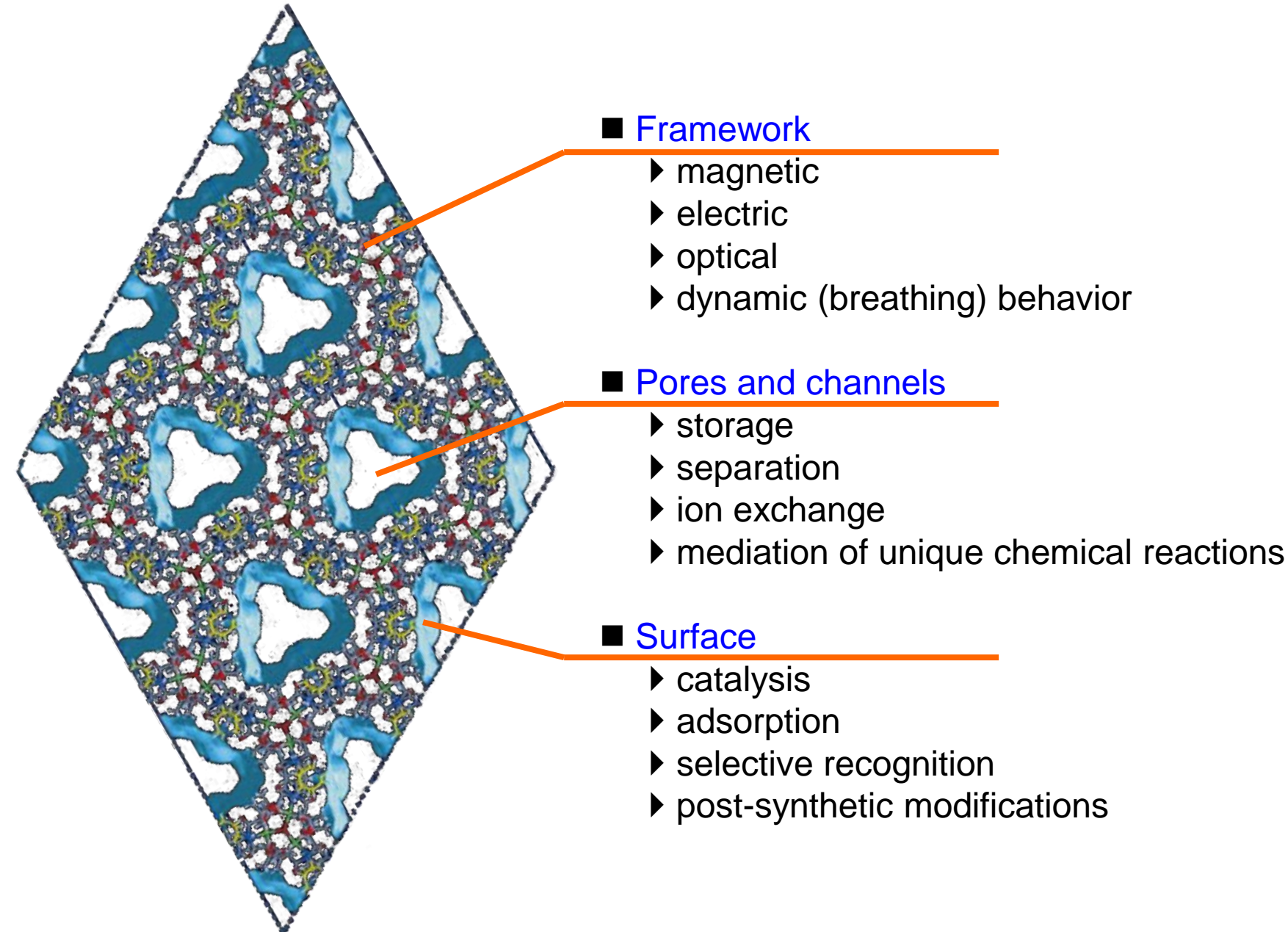


Рекорды в науке

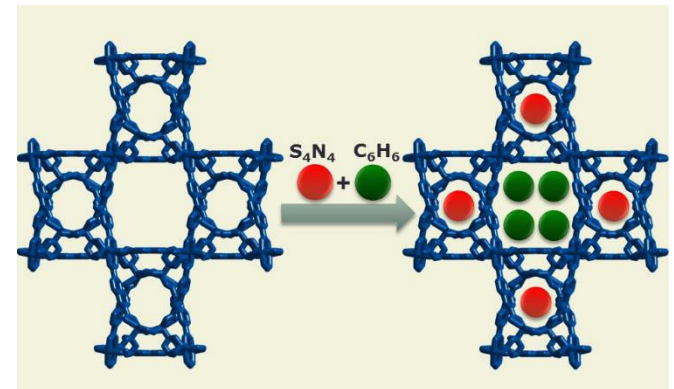


Void volume = 89%; Crystal density = 0.25 g/cm²;
S(BET) = 6240 m²/g; S(Lang) = 10400 m²/g

Основные особенности MOFs

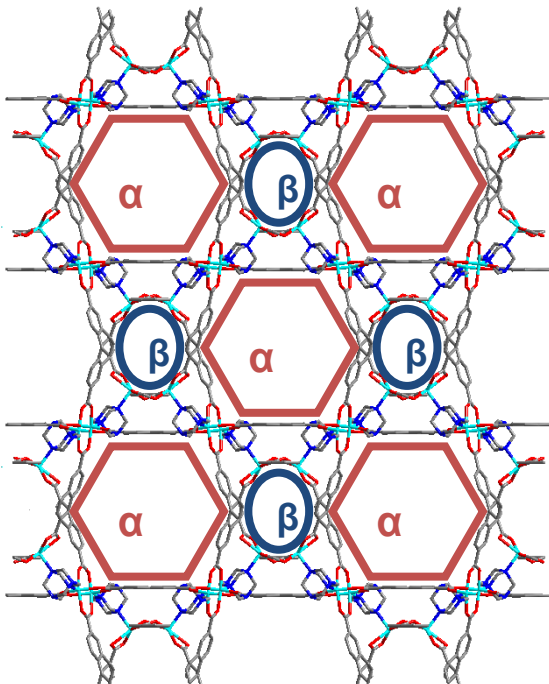
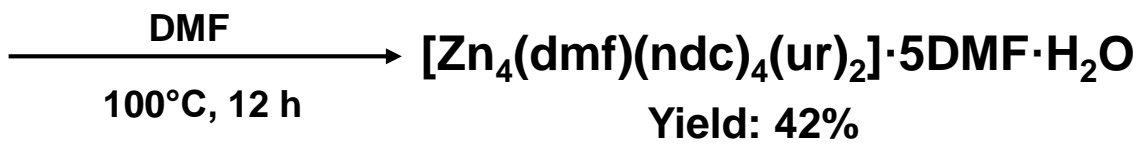


MOFs for sorption and separation

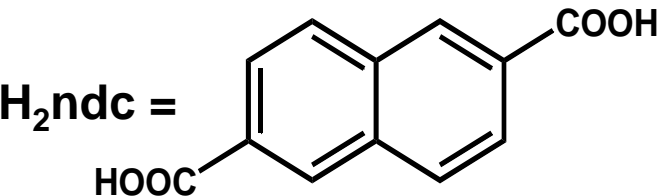
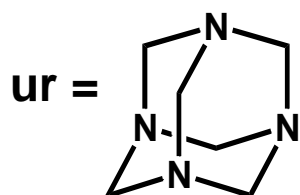
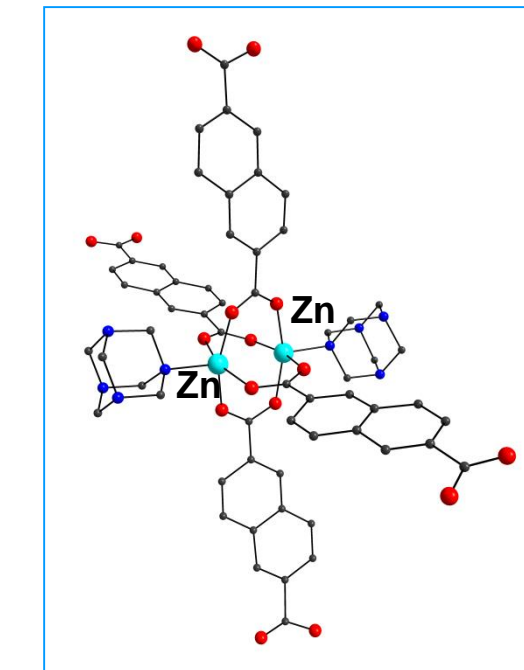


$[\text{Zn}_4(\text{dmf})(\text{ndc})_4(\text{ur})_2] \cdot 5\text{DMF} \cdot \text{H}_2\text{O}$

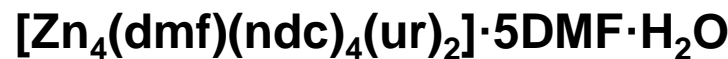
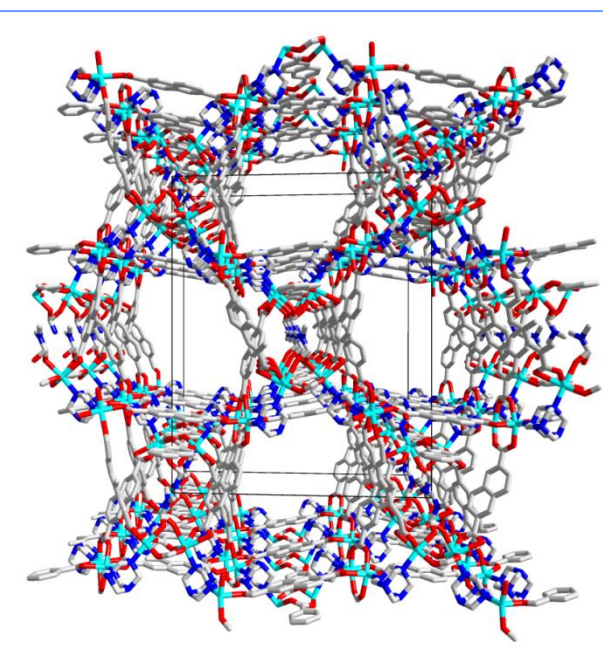
$\text{Zn}(\text{NO}_3)_2 \cdot 6\text{H}_2\text{O} + \text{H}_2\text{nDC} + \text{ur}$



α channels: $9 \times 11 \text{ \AA}$
β channels: $6 \times 9 \text{ \AA}$



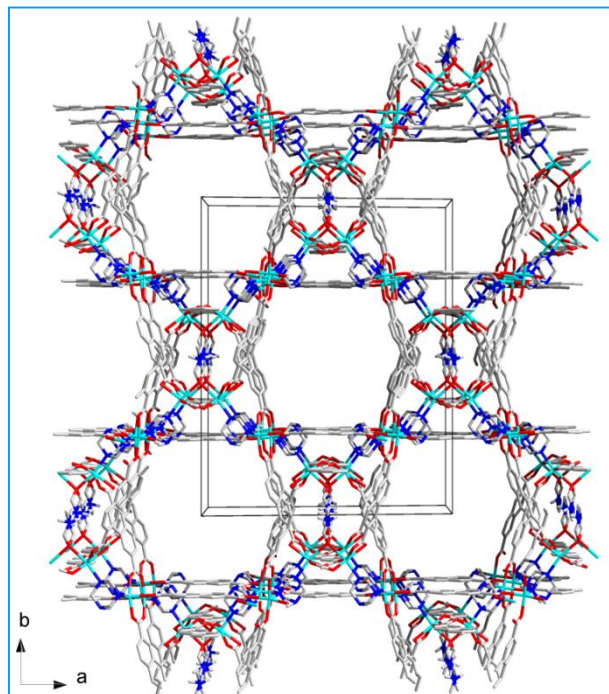
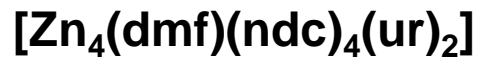
[Zn₄(dmf)(ndc)₄(ur)₂]: guest-free α channels



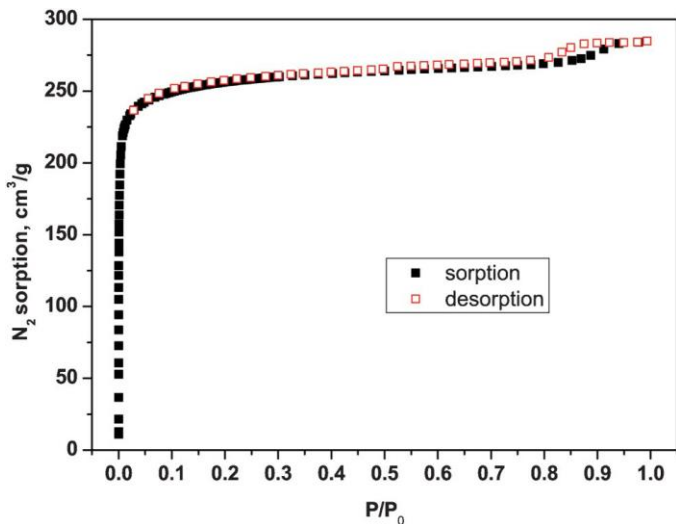
1. CH₂Cl₂, 3 days
2. 50 °C, vacuum
1 day

Monoclinic, Cc

Channels 9x11 Å



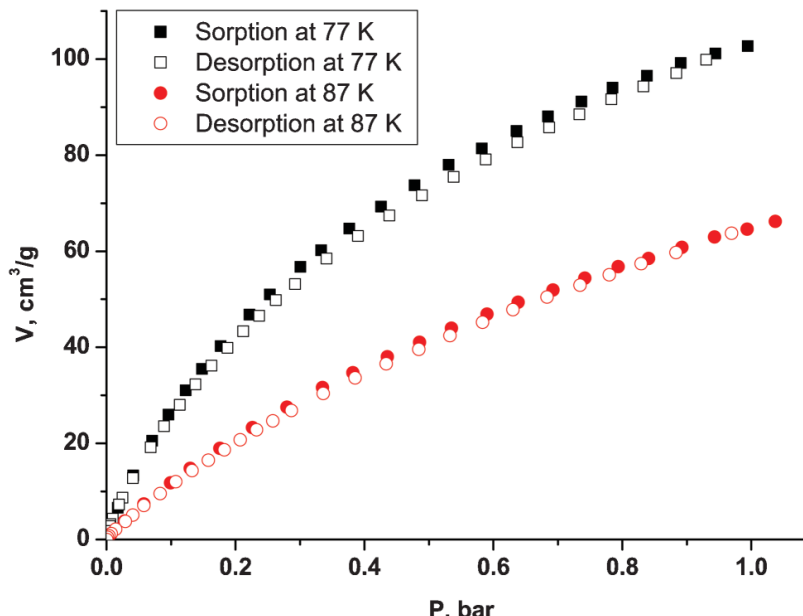
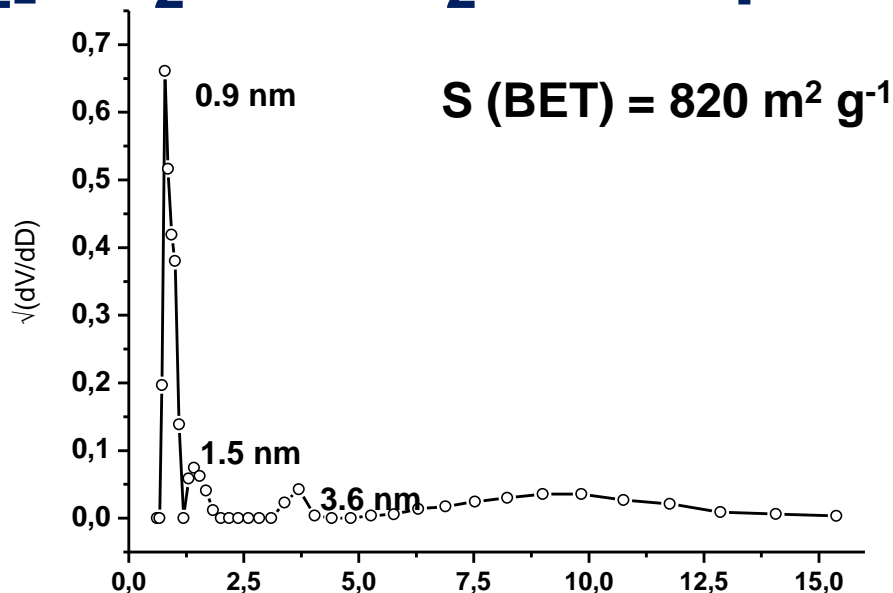
[Zn₄(dmf)(ndc)₄(ur)₂]: N₂ and H₂ adsorption



Nitrogen sorption isotherm at 77 K

77 K, 0.92 % H₂

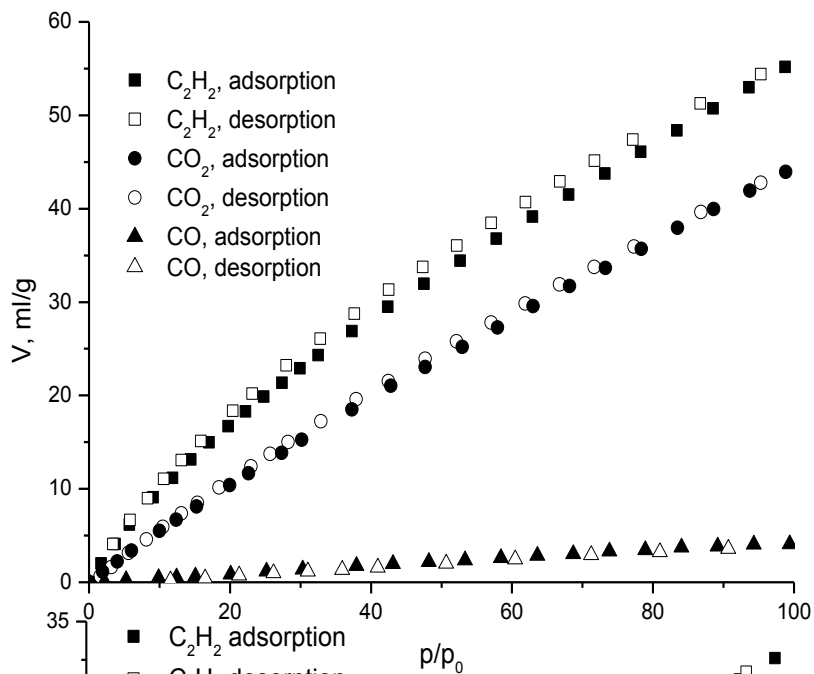
$$\Delta H_{\text{ads}} = 4.7 - 5.2 \text{ kJ/mol}$$



Hydrogen sorption isotherms at 77 and 87 K¹⁶

[Zn₄(dmf)(ndc)₄(ur)₂]: C₂H₂, CO₂ and CO adsorption

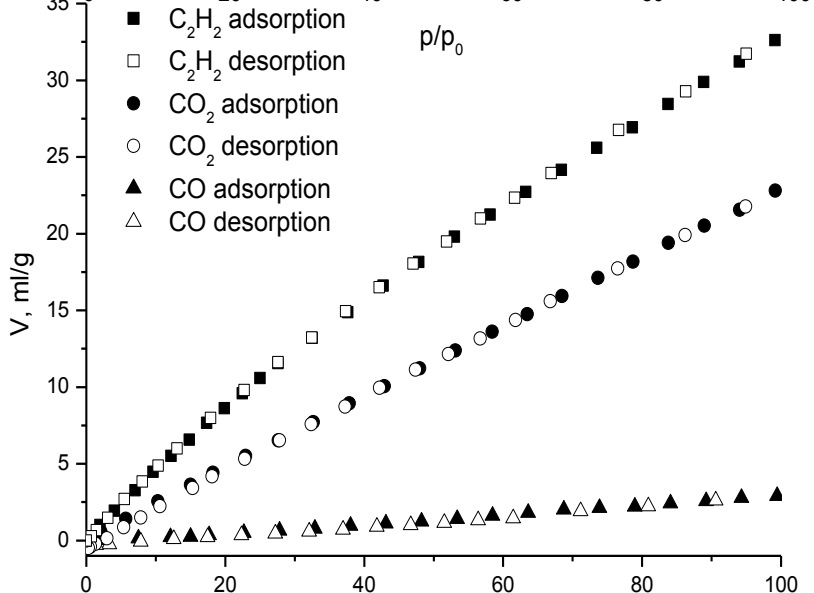
273 K



C₂H₂
CO₂

CO

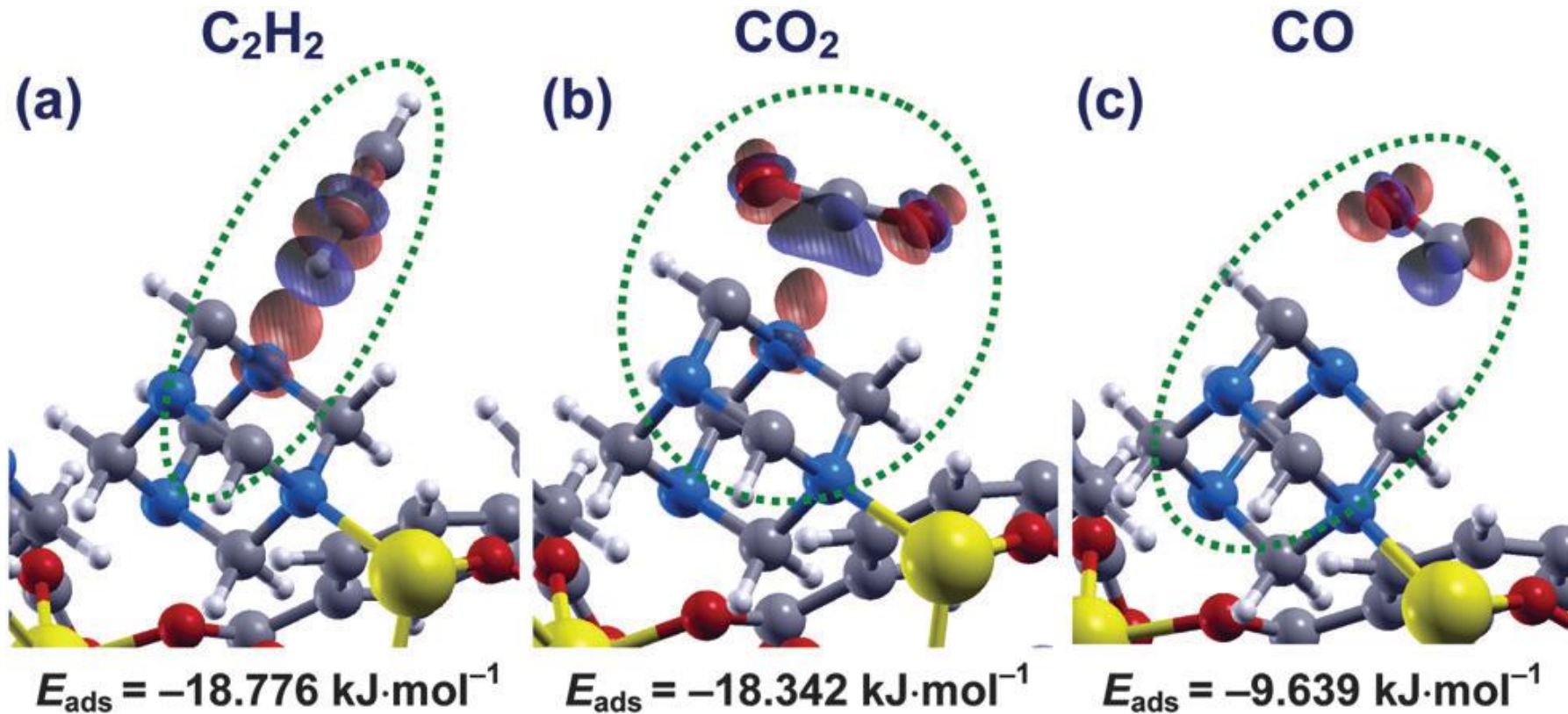
298 K



C₂H₂
CO₂

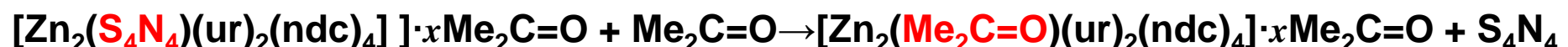
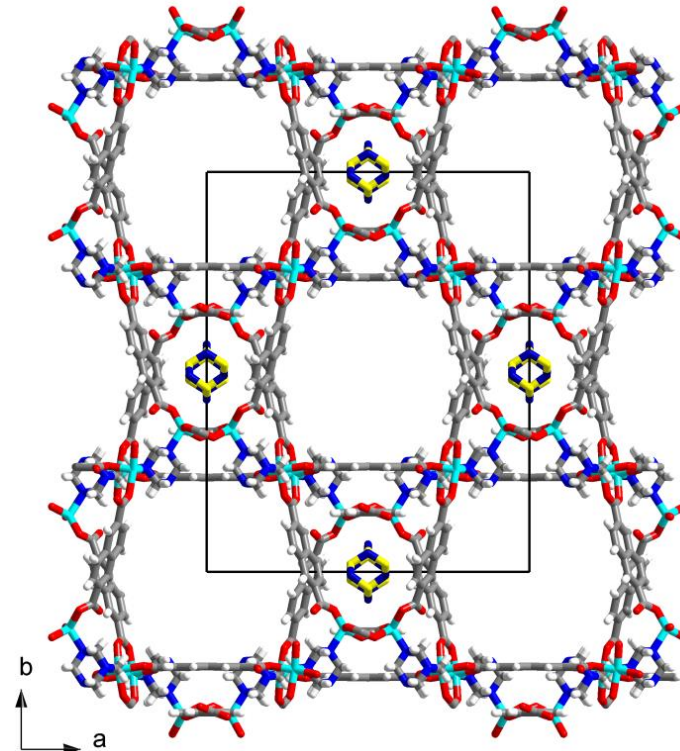
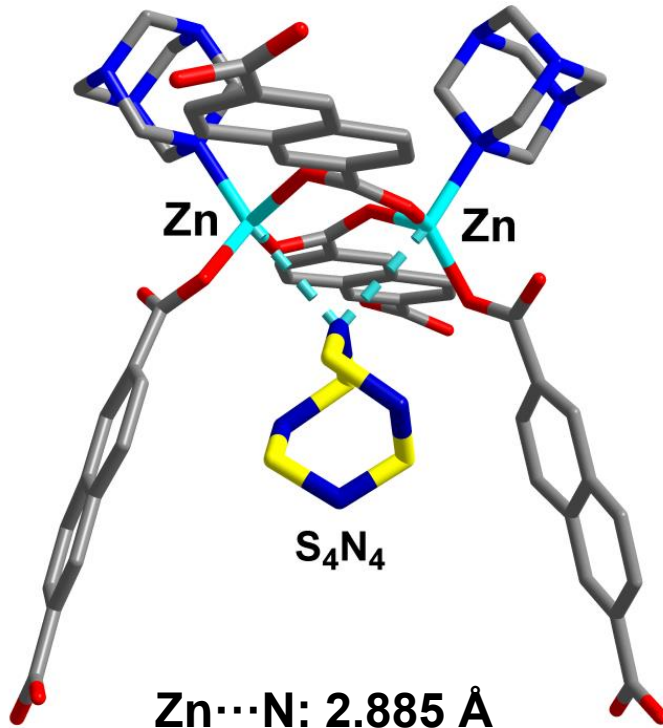
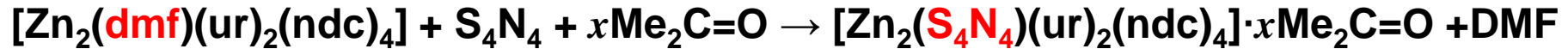
CO

DFT calculations

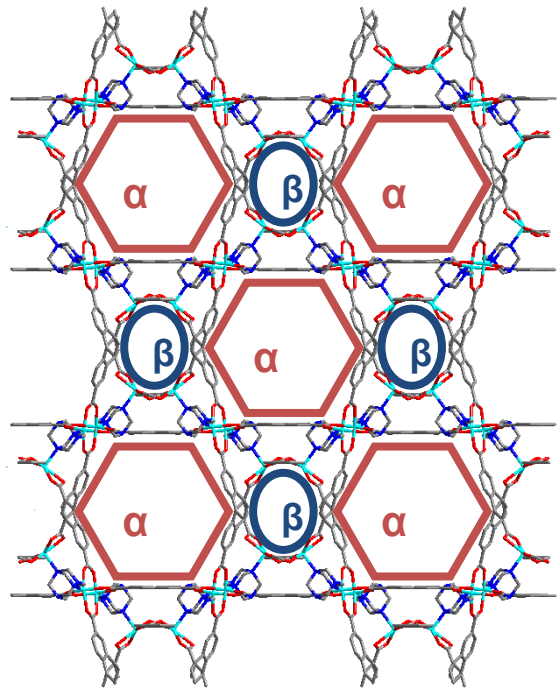


View of charge density isosurfaces for the interactions of (a) C₂H₂, (b) CO₂ and (c) CO with the urotropine linker for the most favorable intermolecular interactions. Red represents the accumulation of electron density and blue the depletion of electron density.

ZNU: inclusion of S_4N_4

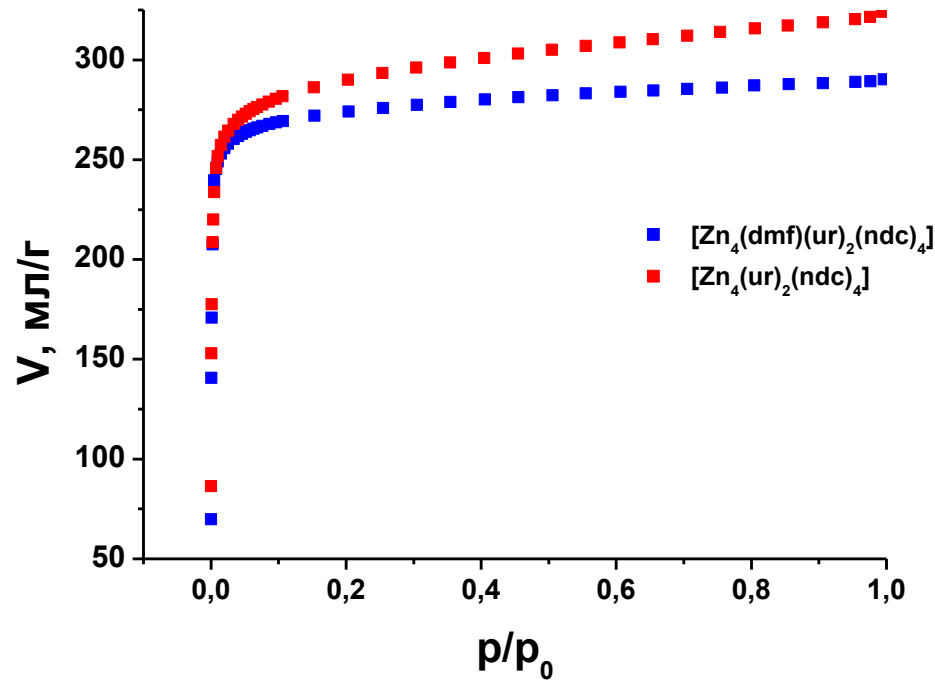


Step-by-step activation of biporous ZNU



α channels: 9×11 Å

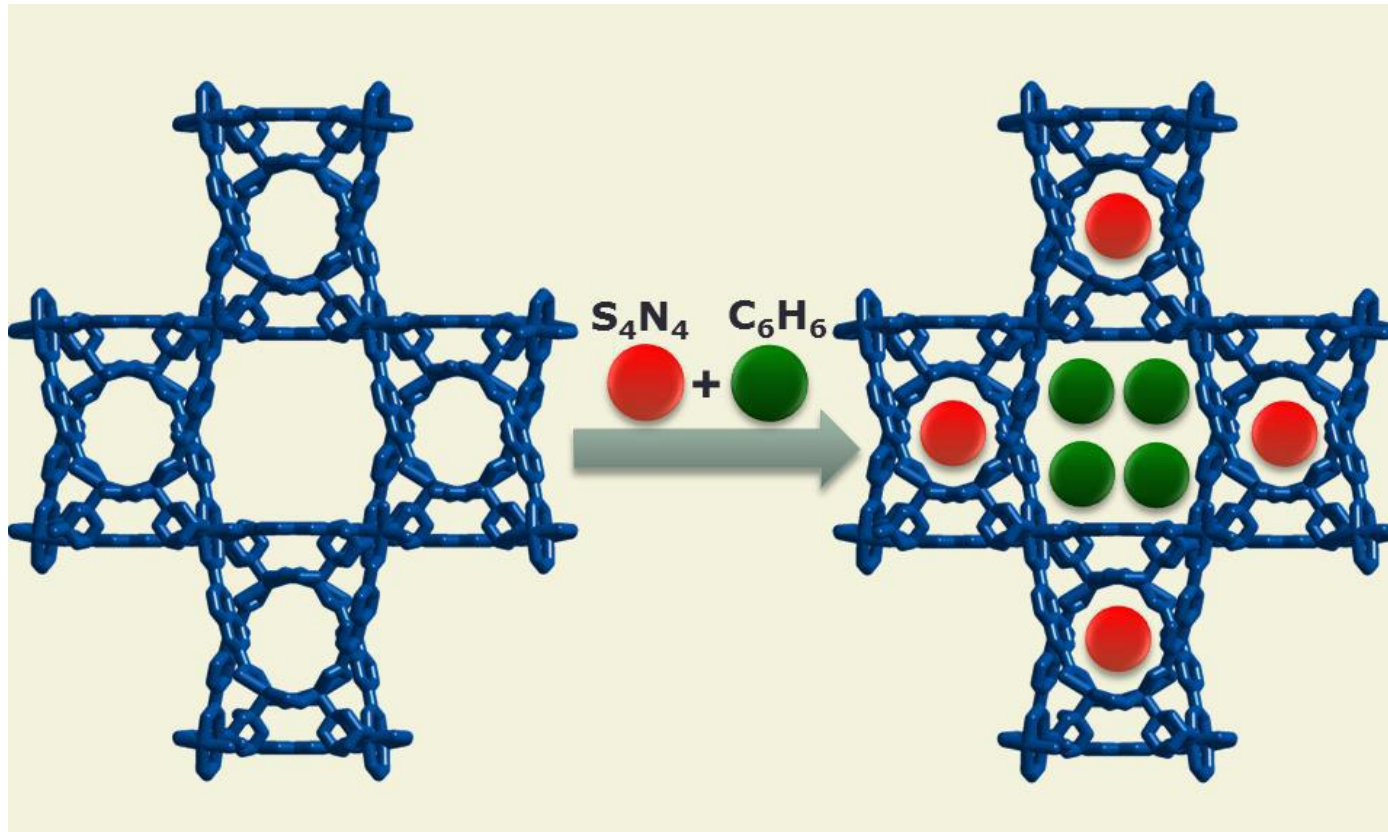
β channels: 6×9 Å



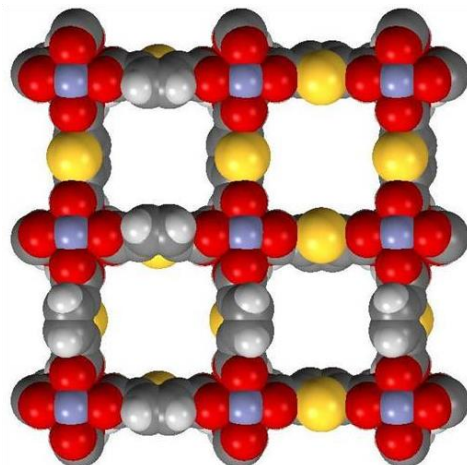
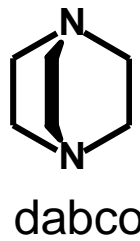
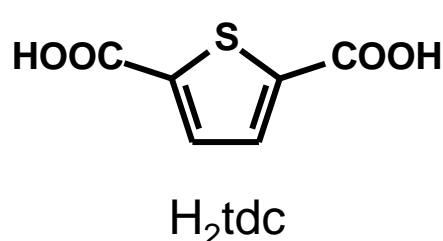
$[Zn_2(\text{dmf})(ur)_2(ndc)_4]$: $S(\text{BET}) = 820 \text{ m}^2 \text{ g}^{-1}$

$[Zn_2(ur)_2(ndc)_4]$: $S(\text{BET}) = 1113 \text{ m}^2 \text{ g}^{-1}$

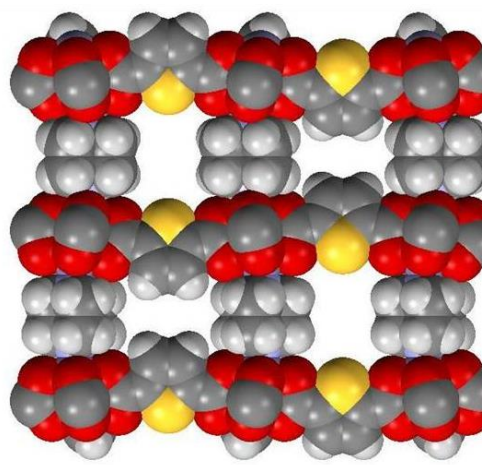
ZNU: selective separation



Porous zinc(II) thiophenedicarboxylate



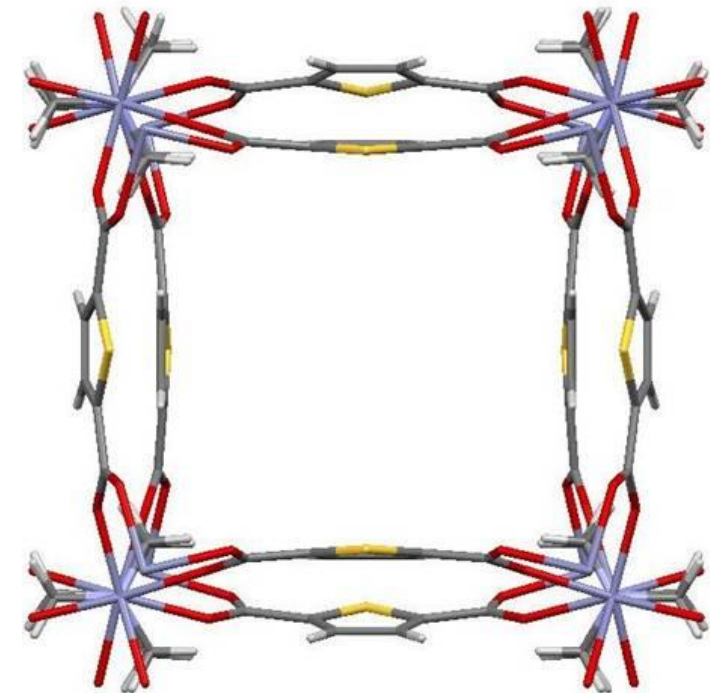
Channels ($7.5 \times 7.5 \text{ \AA}$)



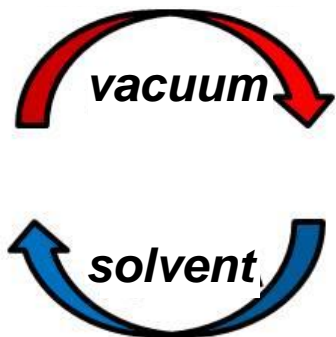
S-decorated windows ($3 \times 4 \text{ \AA}$)

Very similar to the structure of $[\text{Zn}_2(\text{bdc})_2\text{dabco}]$ (D.N. Dybtsev et al., *ACIE*, 2004, 43, 5033)

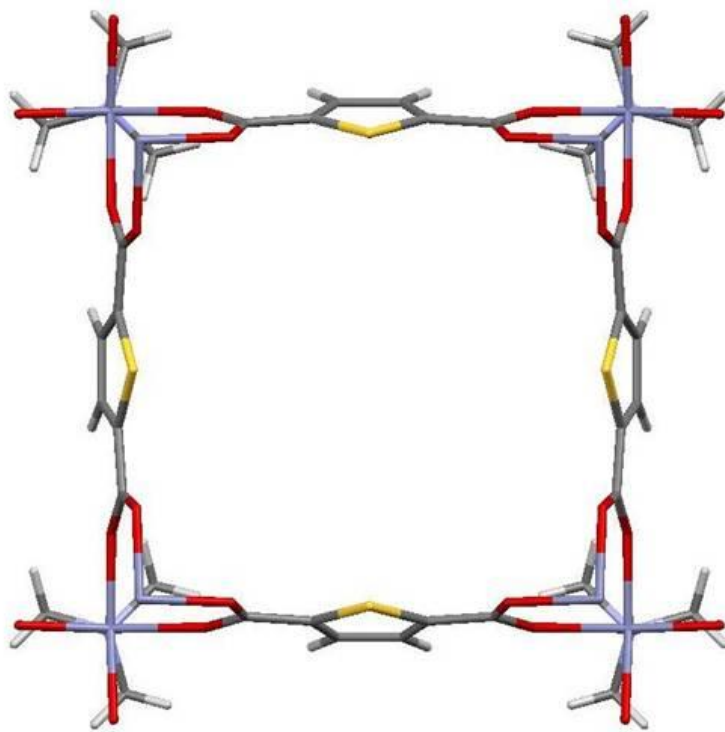
[Zn₂(tdc)₂dabco]: Guest-dependent framework dynamics



TDC ligands are bent



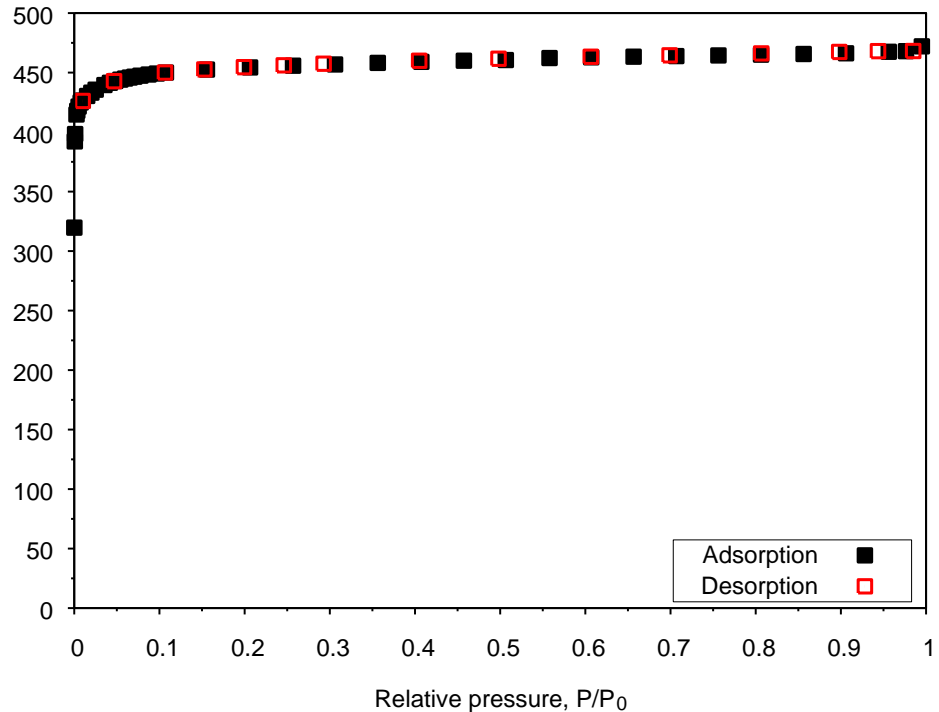
Fully reversible
V = -3%



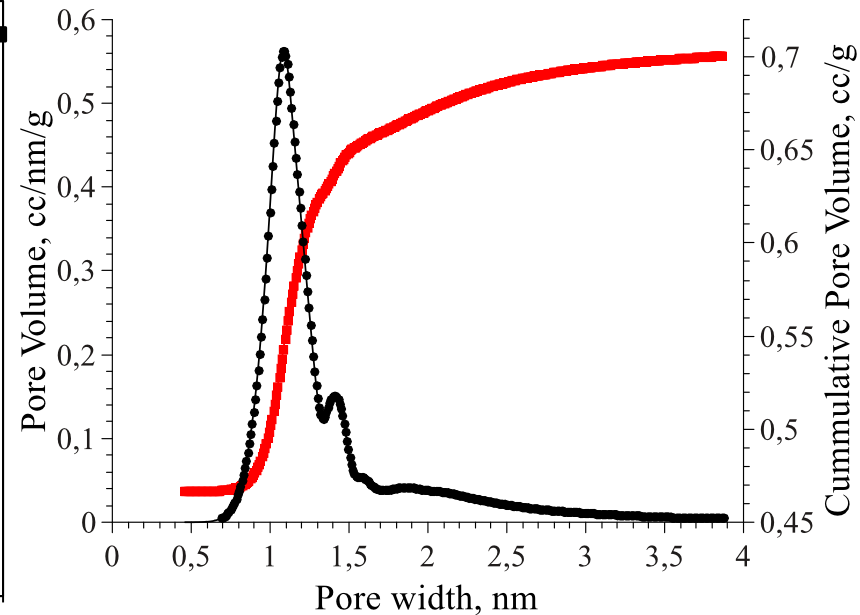
TDC ligands are linear

AGAIN: Very similar to [Zn₂(bdc)₂dabco] (D.N. Dybtsev et al., *ACIE*, **2004**, 43, 5033)

[Zn₂(tdc)₂dabco]: nitrogen adsorption



N₂ adsorption isotherm at 77K



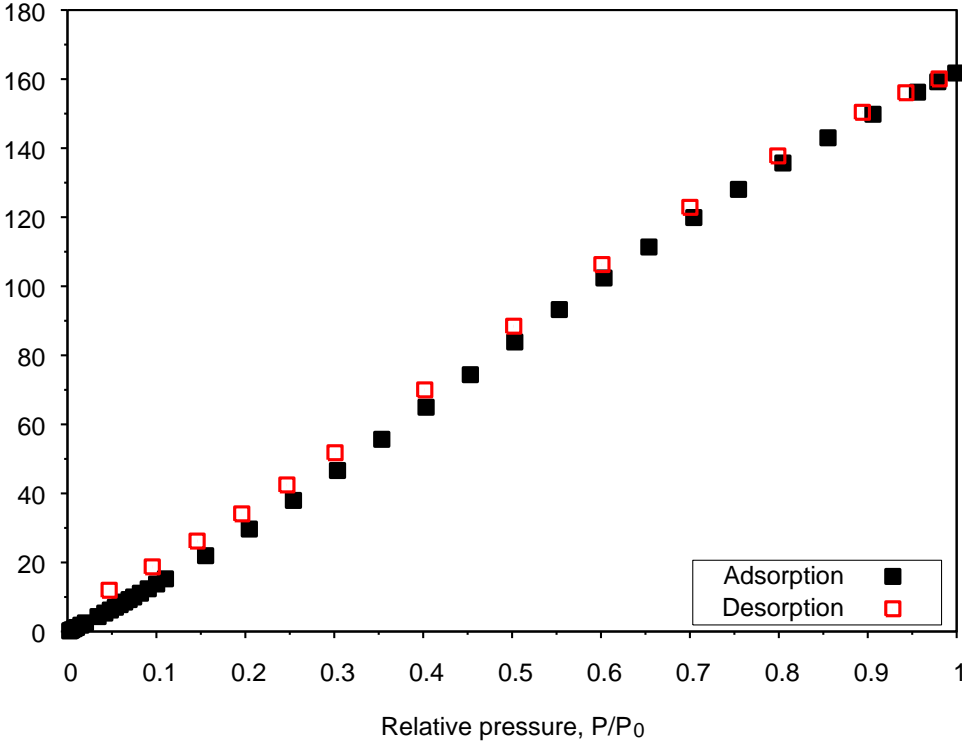
Pore-size distribution plot

Porous properties:

BET surface area = 1800 m²/g
Langmuir = 2000 m²/g
Pore volume = 0.7 ml/g

AGAIN: Very similar to the properties of [Zn₂(bdc)₂dabco]

[Zn₂(tdc)₂dabco]: CO₂ adsorption at 273 K



CO₂ sorption summary:

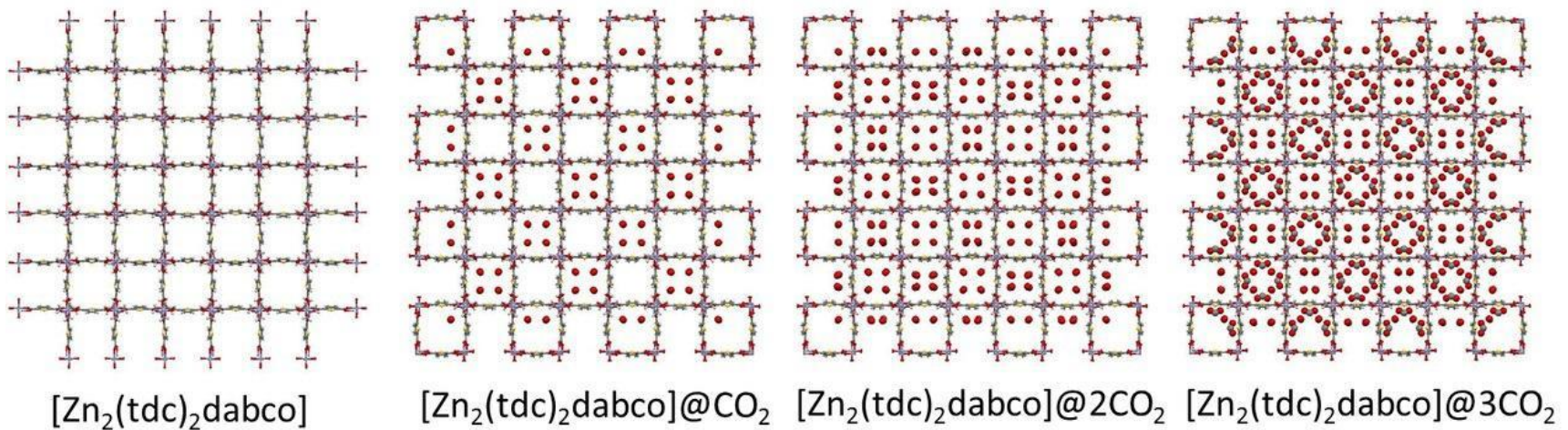
- Highly unsaturated adsorption curve
- At 1 bar (273 K) = **162 ml/g = 32 mass%**
- formula: [Zn₂(tdc)dabco]·4CO₂

-- This number is higher than for any other porous MOF at this conditions, except for SNU-5 (38.5 mass%).

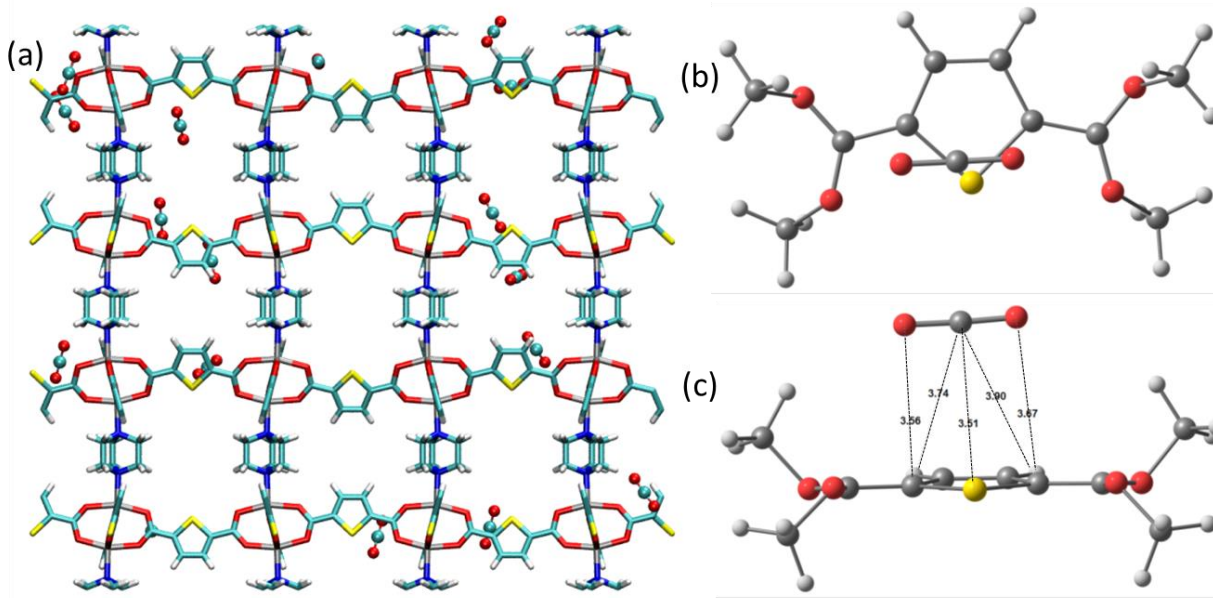
Suh, M. P. *et al.*, ACIE 2008, 47, 7741.
See also J. Long., *et al.*, Chem. Rev. 2012, 112, 724.

Twice as higher than for [Zn₂(bdc)₂dabco] !!

Evolution carbon dioxide storage in $[\text{Zn}_2(\text{tdc})_2\text{dabco}]$ («Sevas Complex») detected by single-crystal X-ray diffraction data

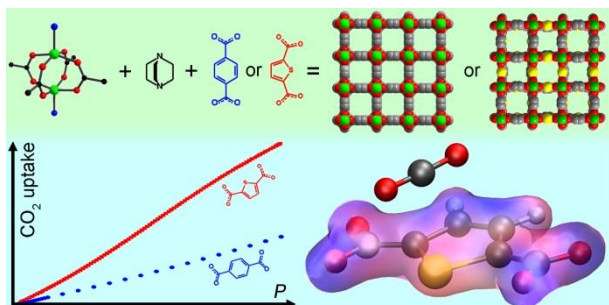


GCMC and DFT calculations



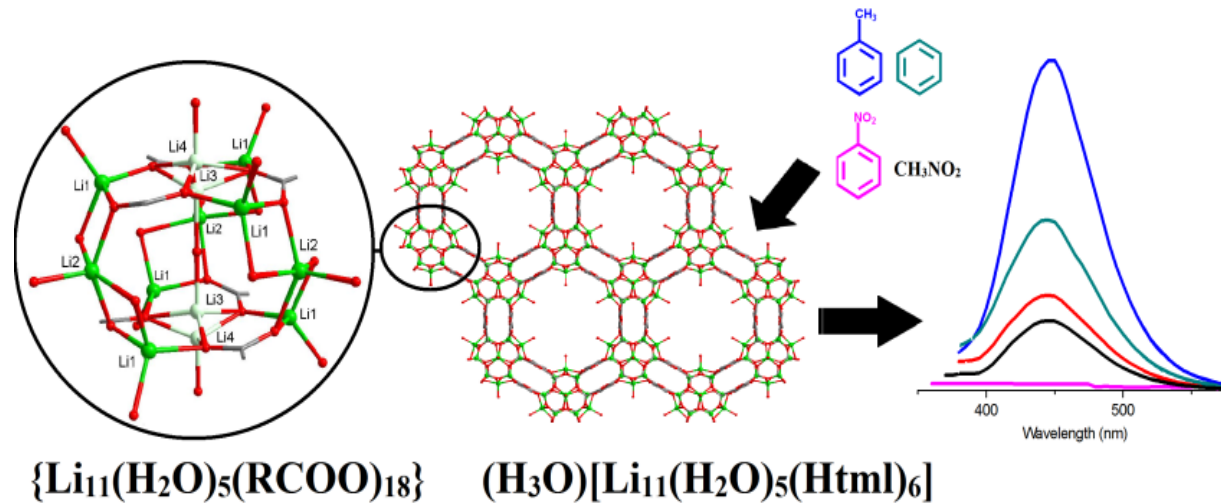
Snapshot from GCMC simulation at low pressure, in which the majority of CO₂ molecules were found to be located near to the thiophene ring (a). The DFT-optimised lowest-energy binding site for CO₂ viewed from above (b) and alongside the TDC fragment (c).

Calculated binding energies ranging from -15.7 to -18.3 kJ·mol⁻¹, ca. 3-10 kJ·mol⁻¹ stronger than reported binding energies for CO₂ with benzene-based moieties



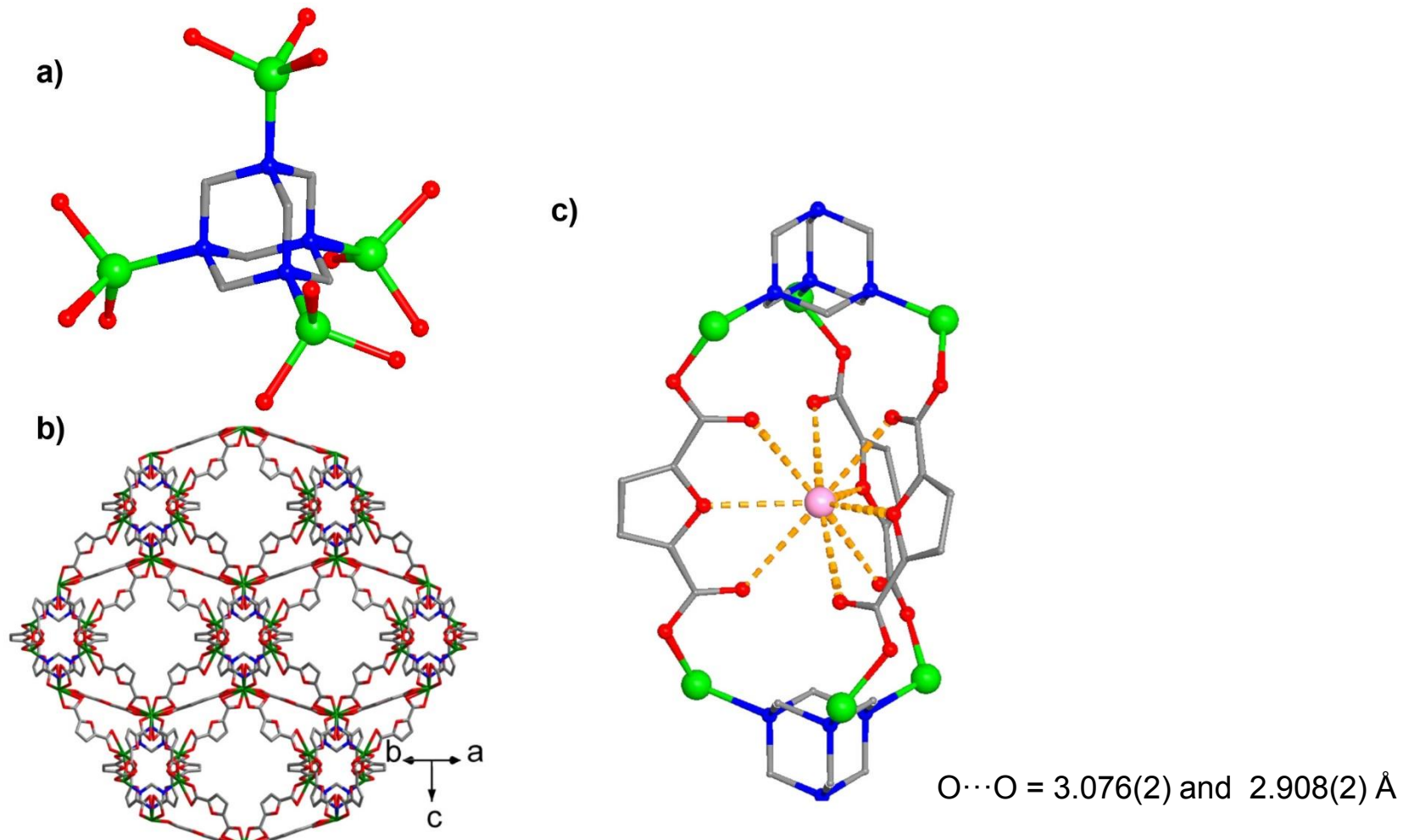
V.A. Bolotov et al., 2017, *MS in preparation*

MOFs for sensor materials

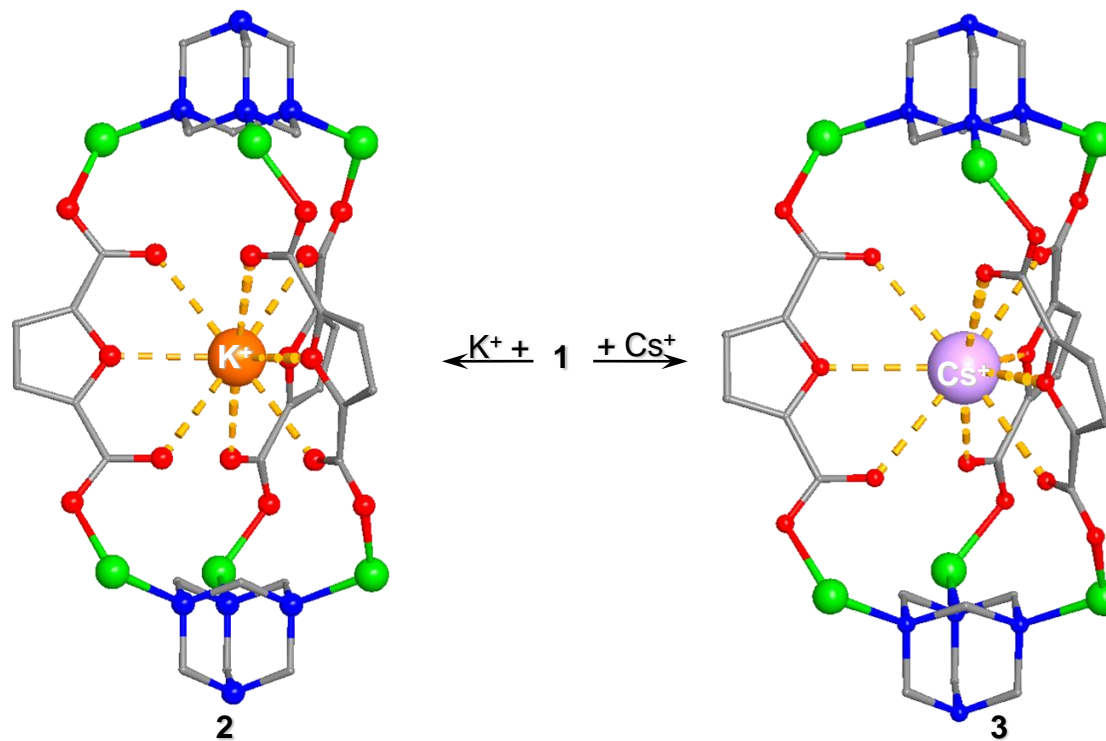


Cryptand-like MOF

$(\text{H}_3\text{O})_2[\text{Zn}_4(\text{ur})(\text{Hfdc})_2(\text{fdc})_4] \cdot \text{G}$



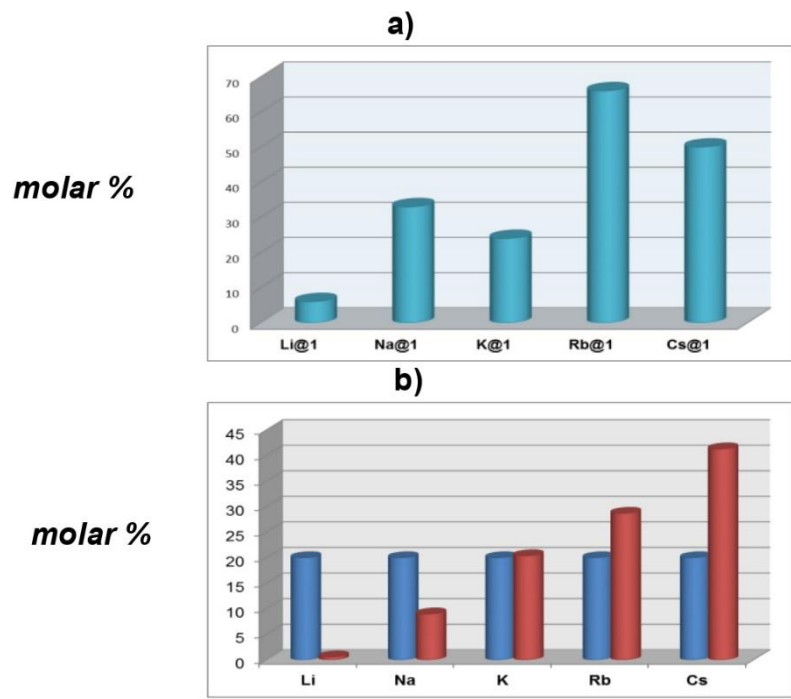
Cations exchange



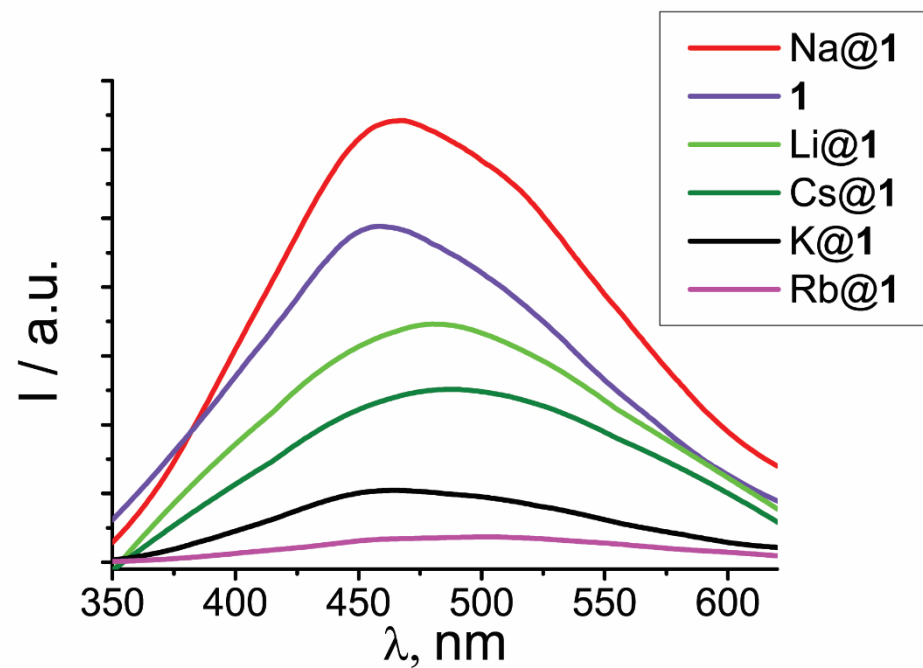
$$K \cdots O(\text{fdc}) = 2.86 \text{ \AA}, K \cdots O(\text{COO}) = 3.02 \text{ \AA}$$

$$Cs \cdots O(\text{fdc}) = 3.10 \text{ \AA}, Cs \cdots O(\text{COO}) = 3.14 \text{ \AA}$$

Extraction and detection of alkali metal cations

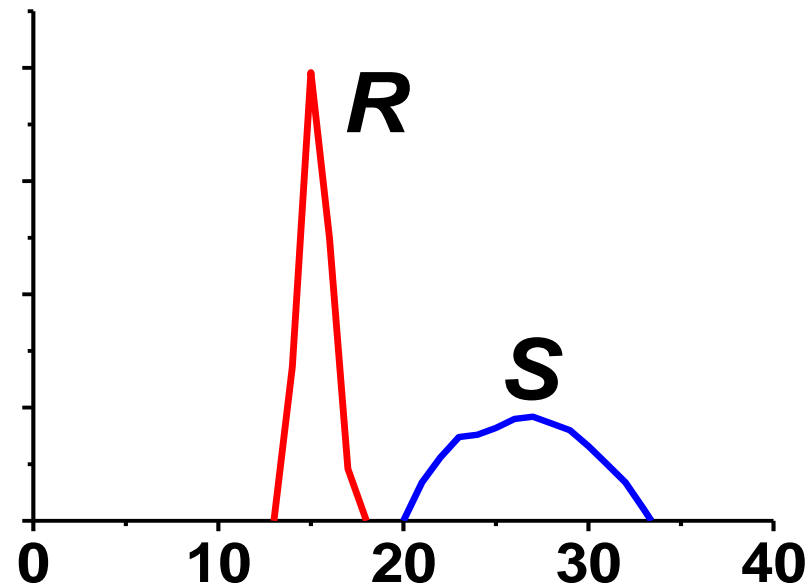
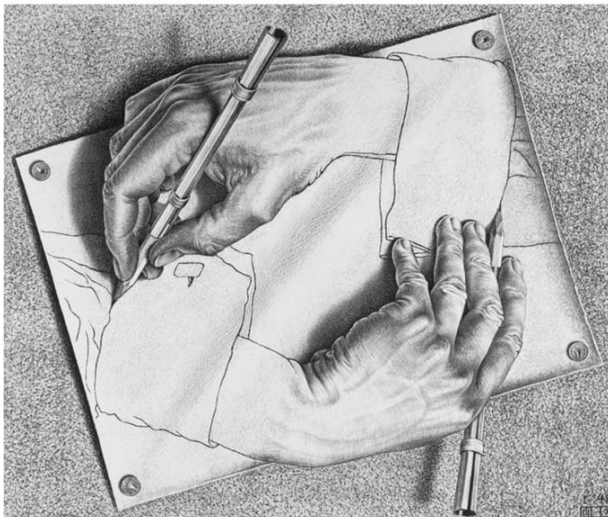


- a) Molar fraction of alkali metal cation in the supramolecular adducts of compound **1** after immersion in 0.01 M MnO_3 solution ($\text{M}=\text{Li}, \text{Na}, \text{K}, \text{Rb}, \text{Cs}$) in NMP.
- b) Molar fraction of alkali metal cation in a 0.001 M solution of alkali metals nitrates (blue) versus the molar fraction obtained within the supramolecular adduct of **1** (red).

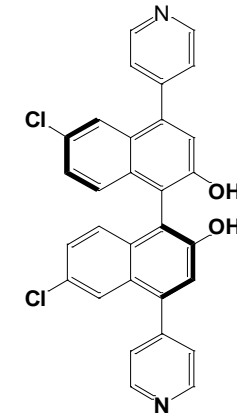
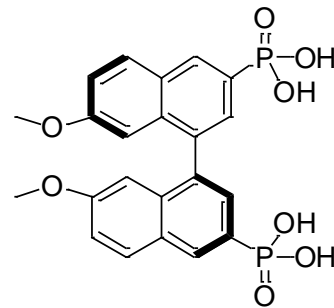
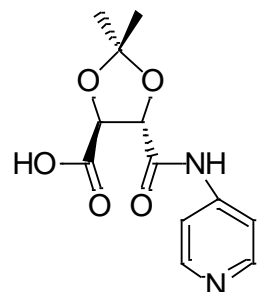
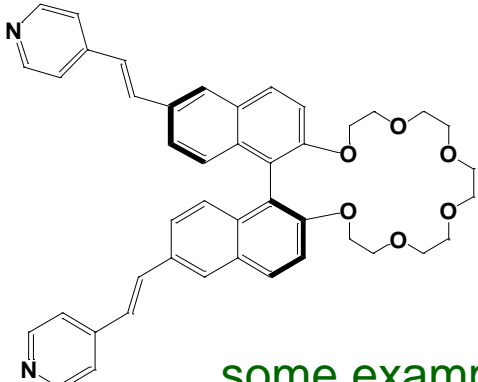
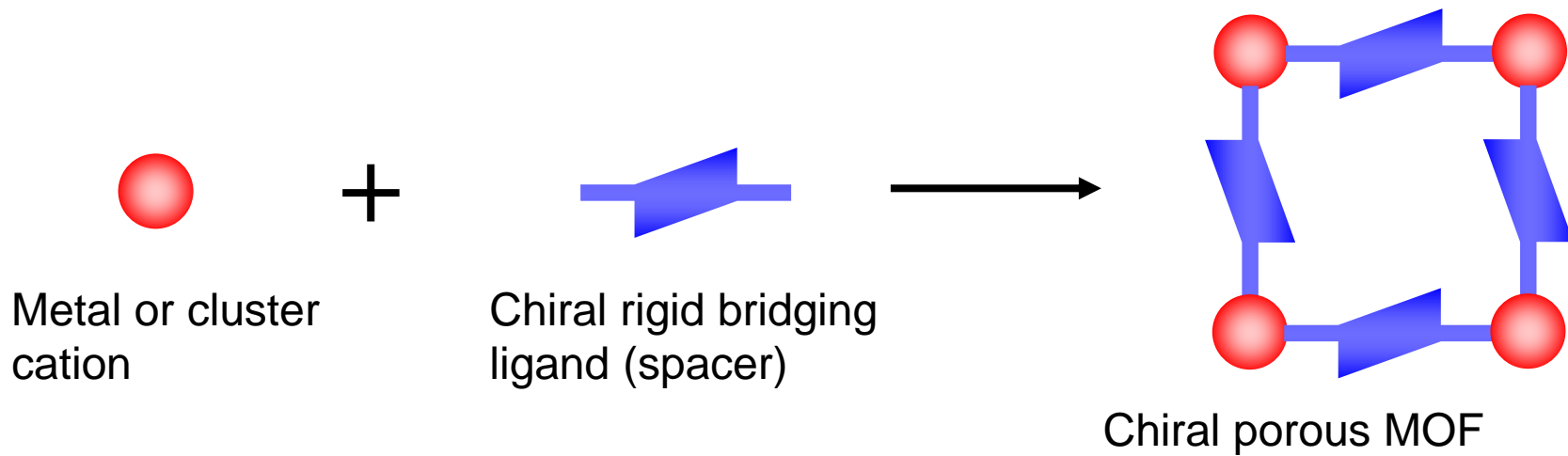


Solid-state photoluminescence spectra of compound **1** and its adducts with alkali metal cations.

Chiral MOFs for enainioselective separation



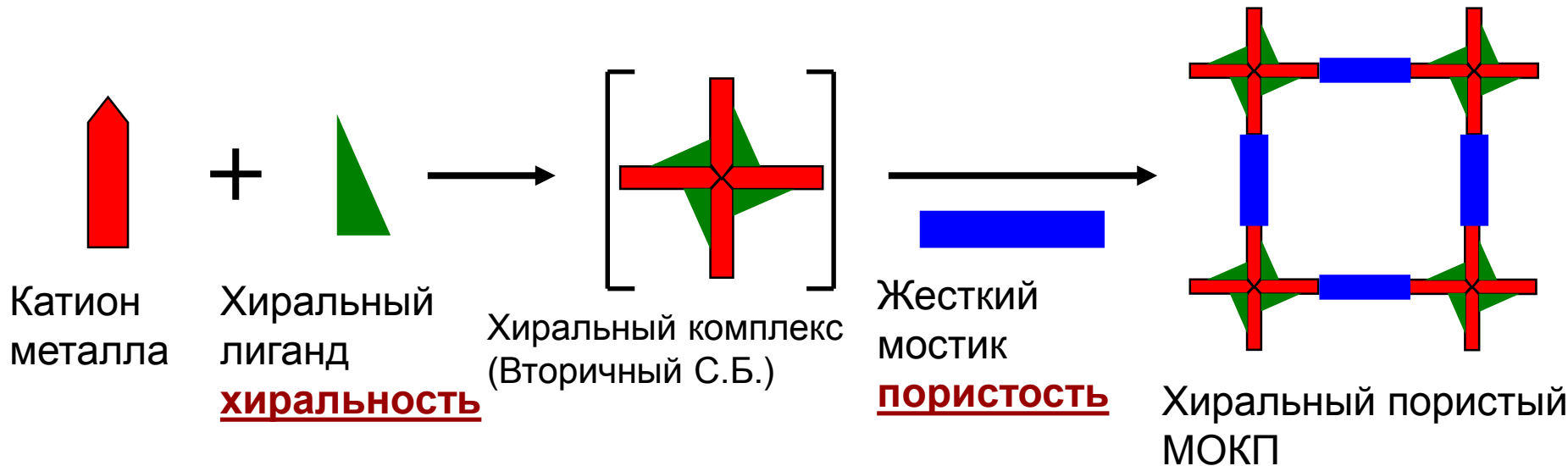
Synthesis of chiral porous MOFs



some examples of ligands, used for the synthesis

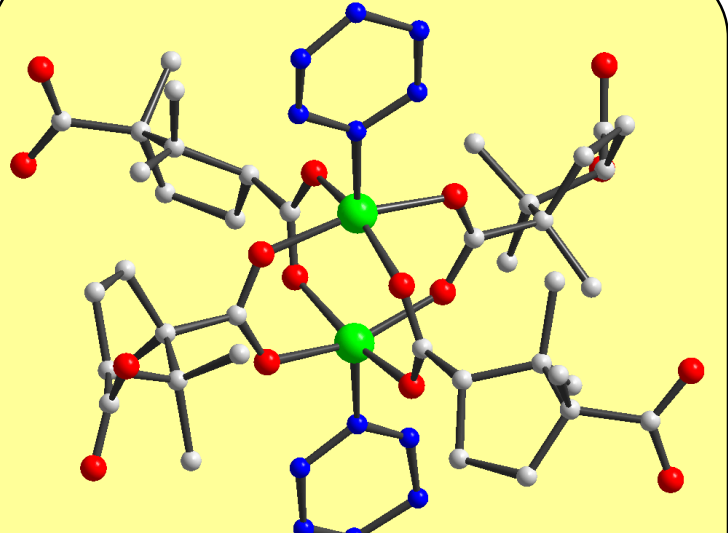
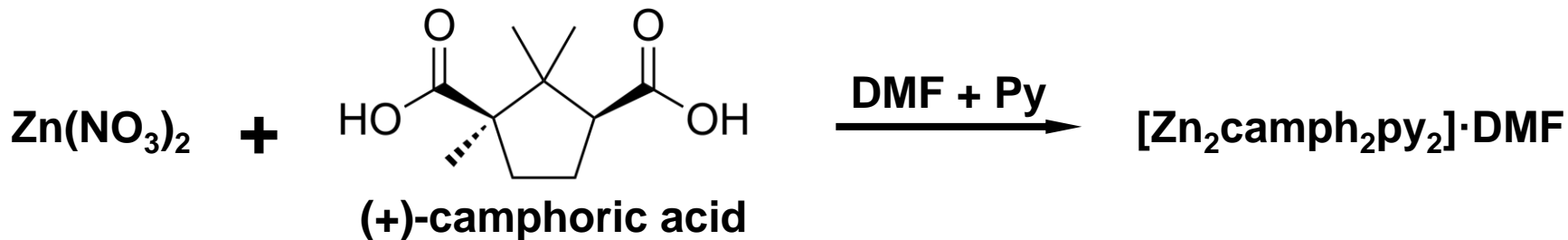
Новый подход к синтезу хиральных пористых МОКП

ДВА ЛИГАНДА ЛУЧШЕ ОДНОГО!

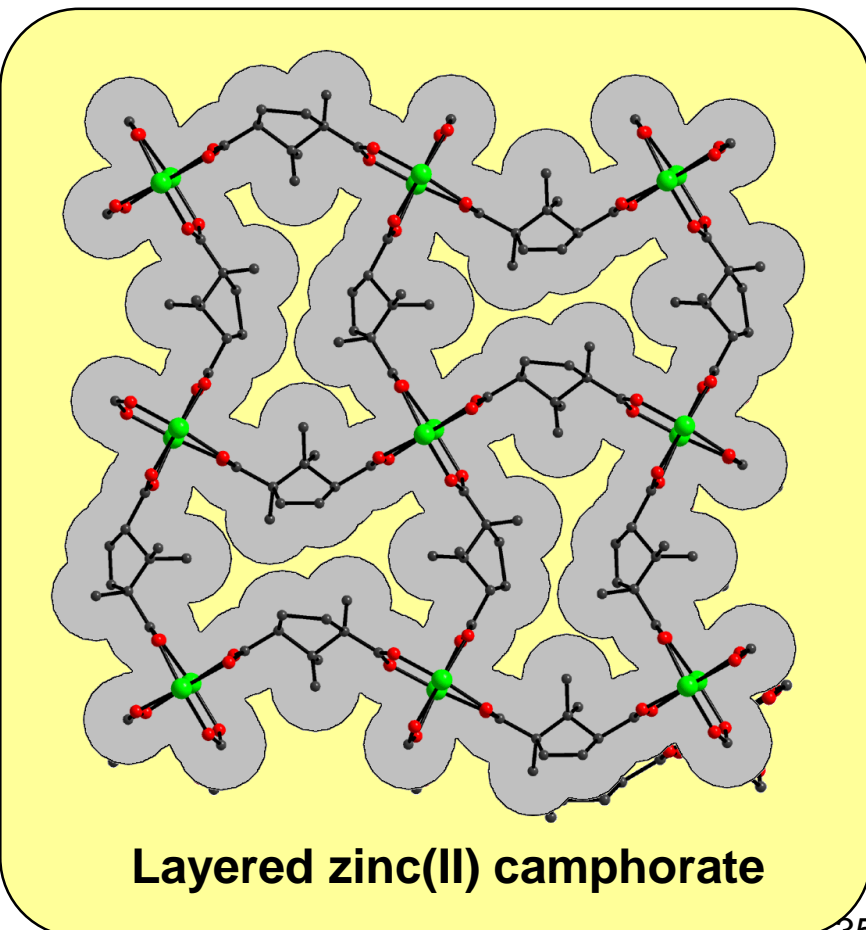


- Позволяет использовать простые доступные хиральные лиганды природного происхождения
- Позволяет контролировать размер пор за счет изменения длины мостиковых лигандов.

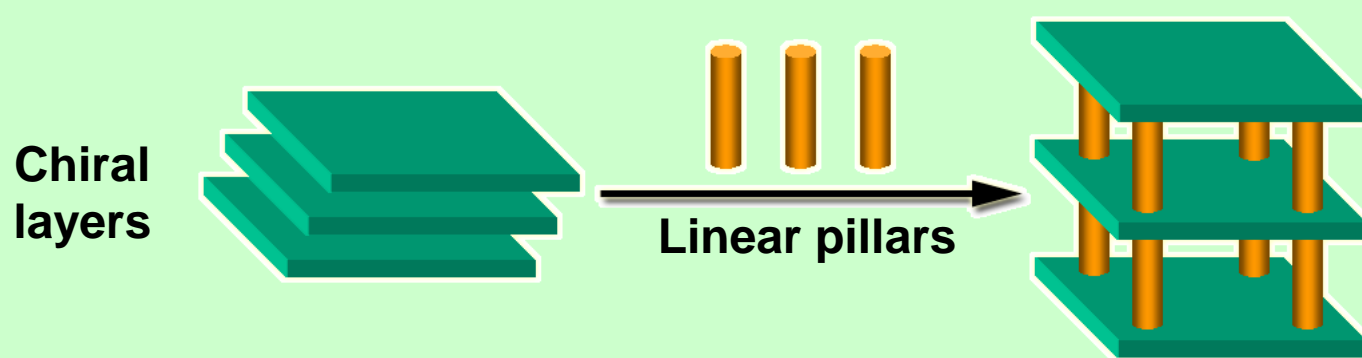
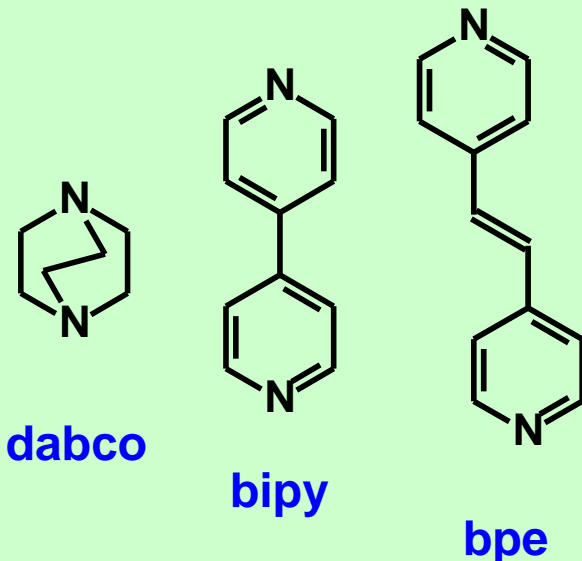
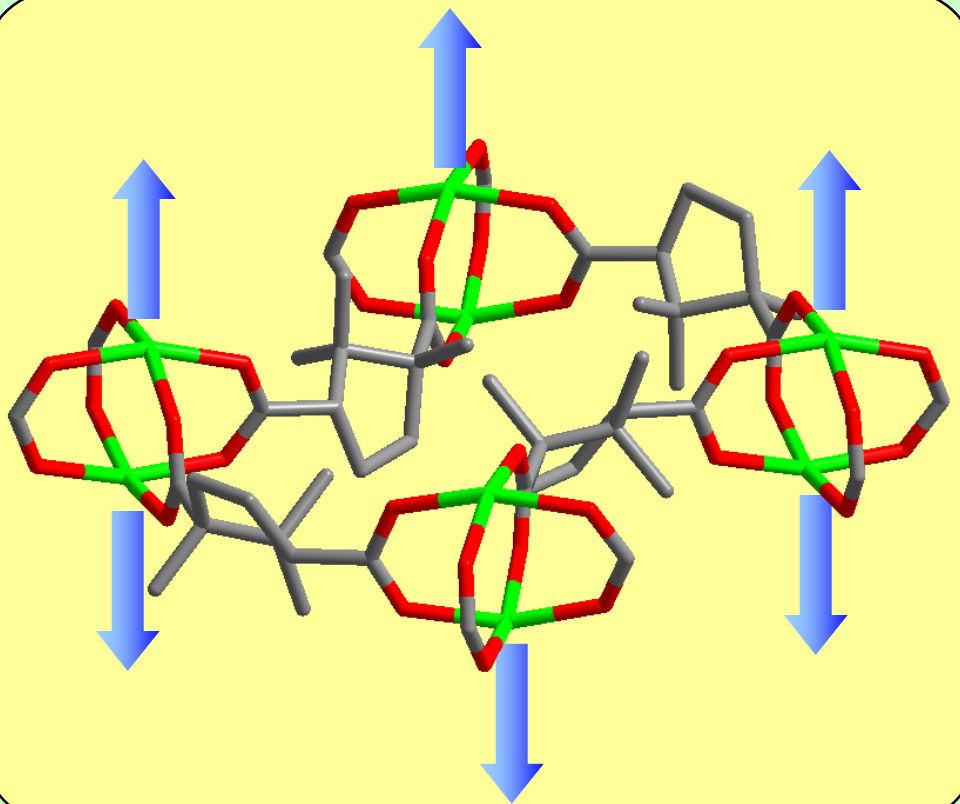
Zn(II) Camphorates



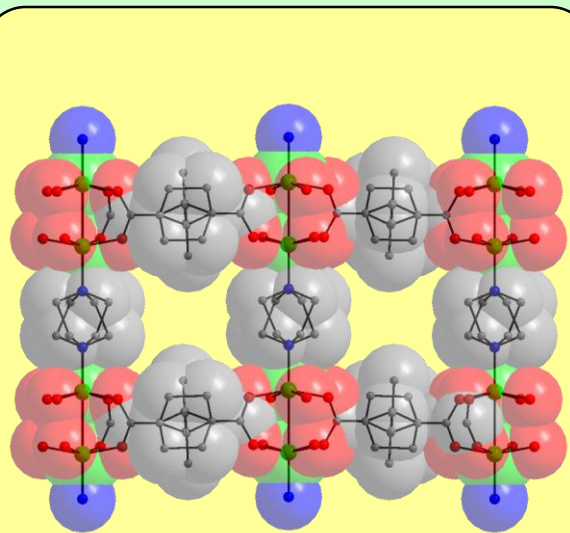
Structure of Zn_2 paddle-wheel



From chiral 2D layer to chiral 3D framework



Isoreticular chiral porous MOFs

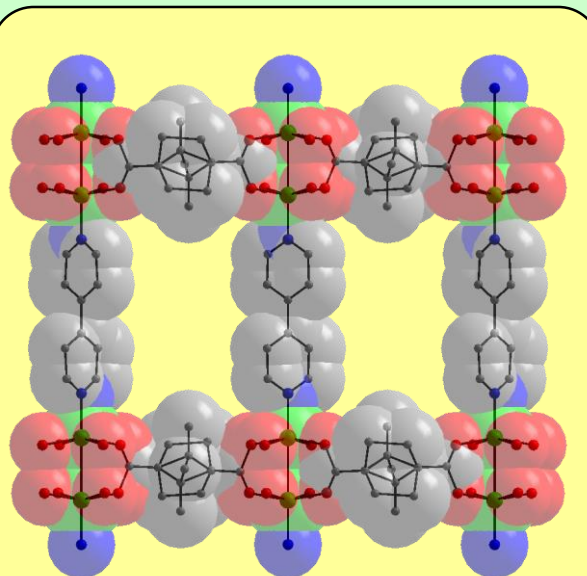


[Zn₂camph₂dabco]

$V_{\text{free}} = 31\%$

\emptyset channel:
 $3 \times 3.5 \text{ \AA}$

$S_{\text{area}} = 520 \text{ m}^2/\text{g}$

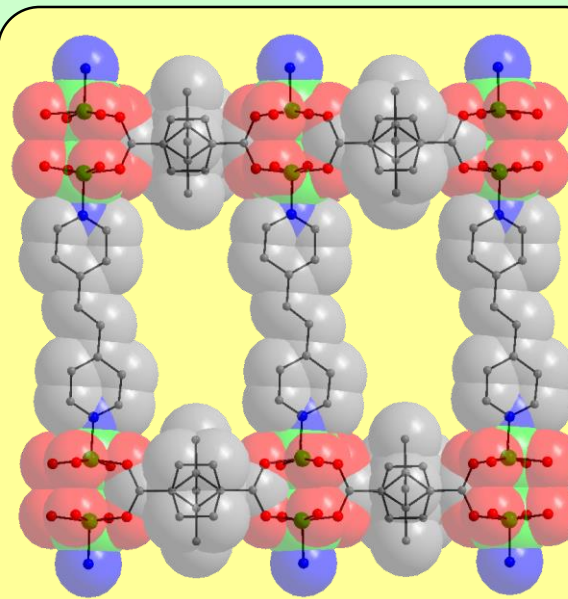


[Zn₂camph₂bipy]

$V_{\text{free}} = 51\%$

\emptyset channel:
 $5 \times 7 \text{ \AA}$

$S_{\text{area}} = 1040 \text{ m}^2/\text{g}$

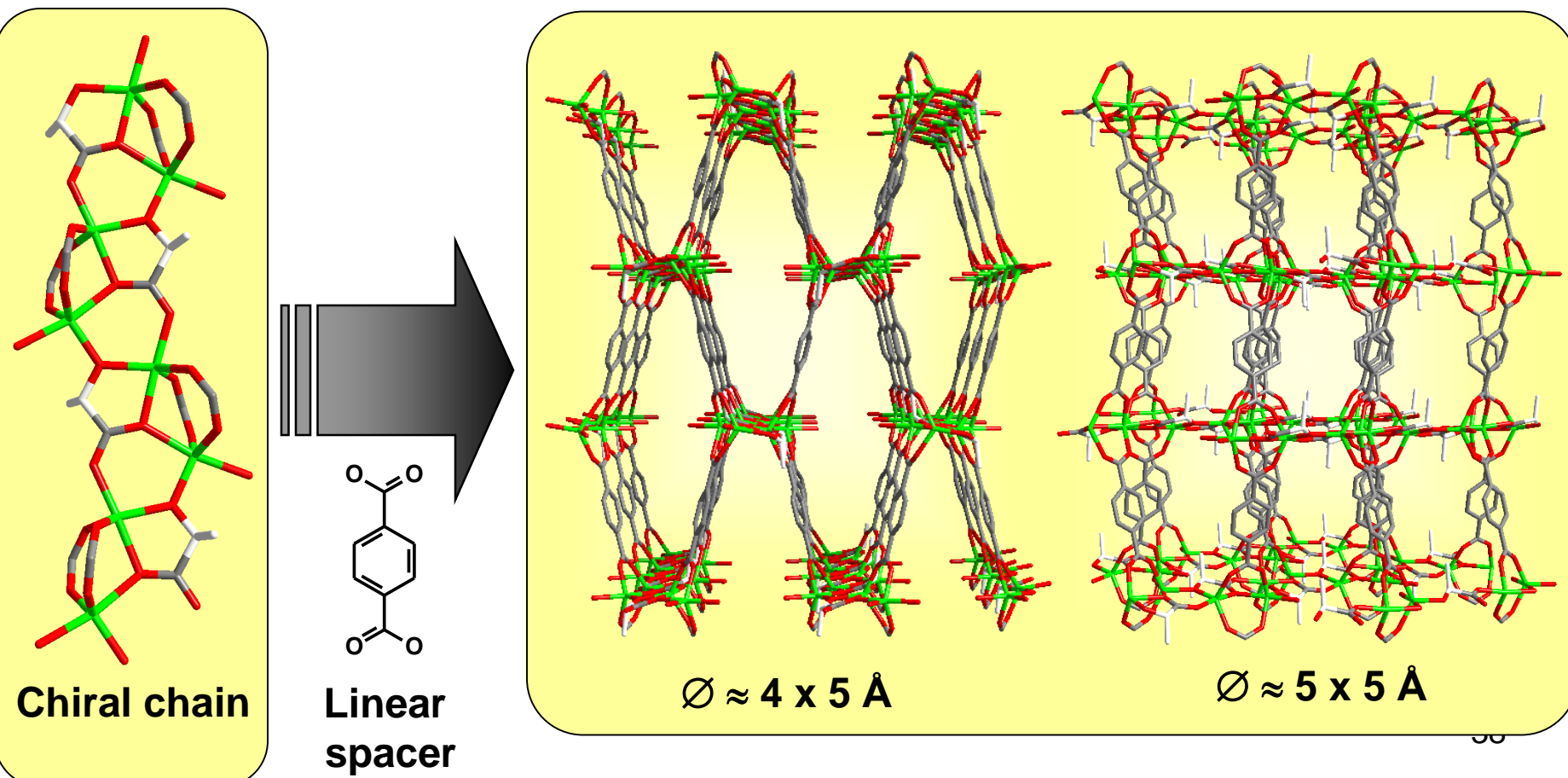
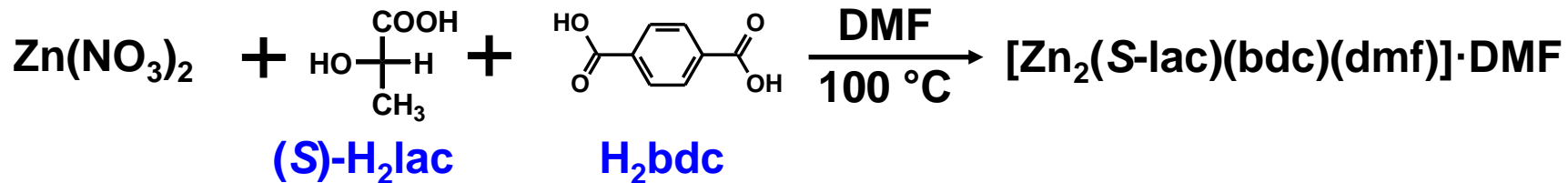


[Zn₂camph₂bpe]

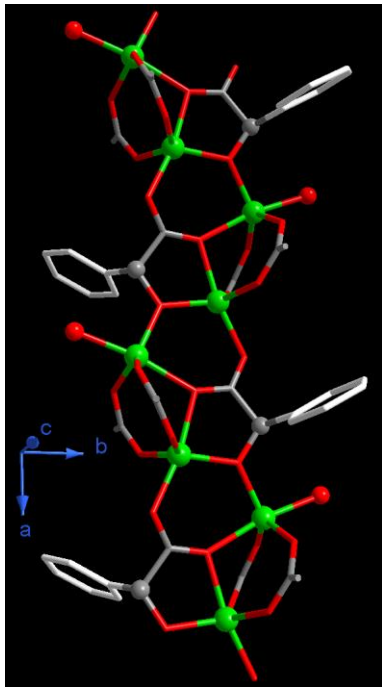
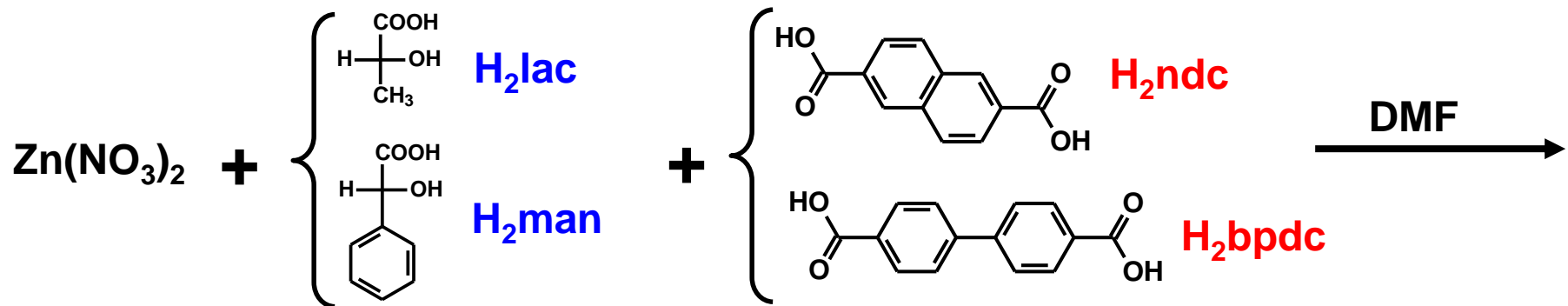
$V_{\text{free}} = 56\%$

\emptyset channel:
 $5 \times 10 \text{ \AA}$

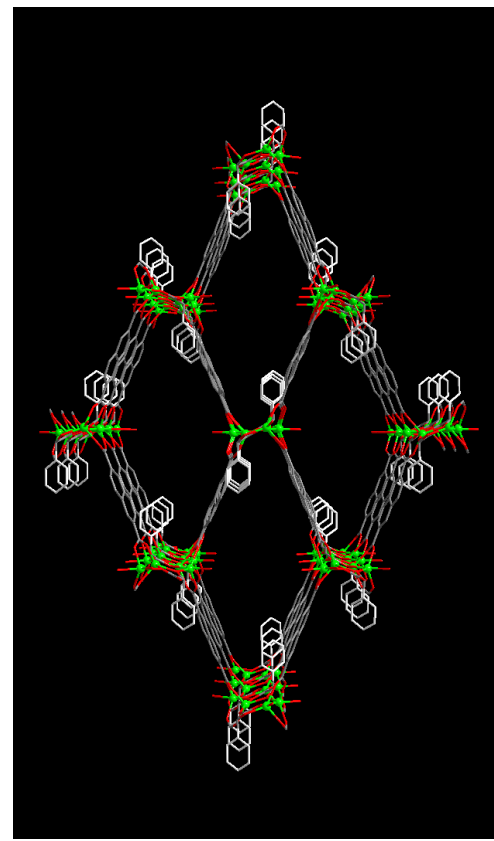
Porous Zn(II) lactate-terephthalate



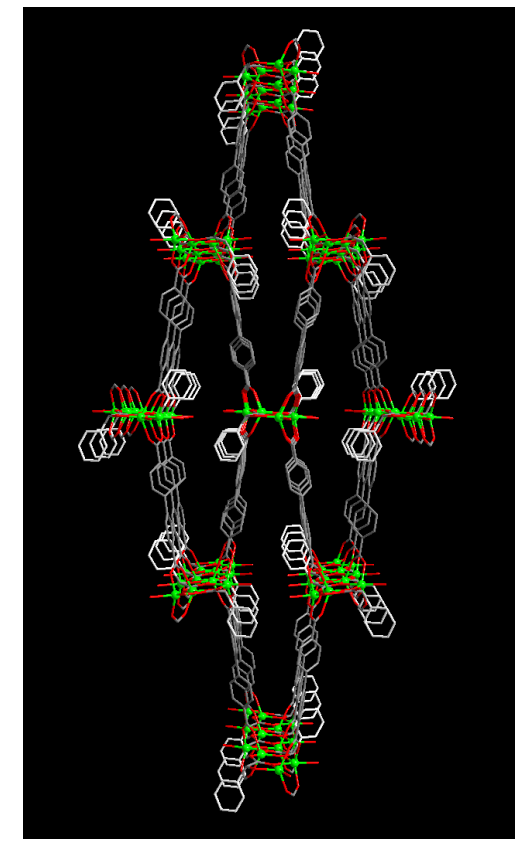
Chiral porous MOFs



Chiral chain
(SBU)

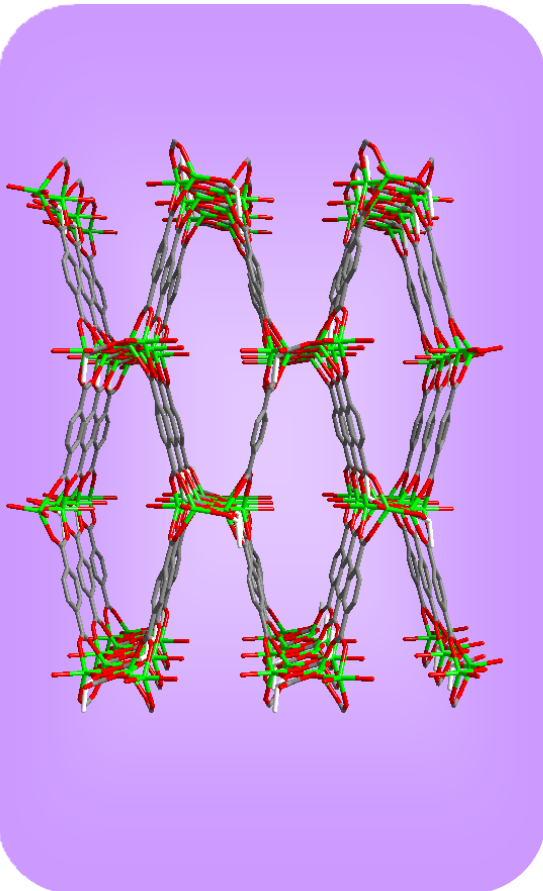


[Zn₂(ndc)(R-man)]



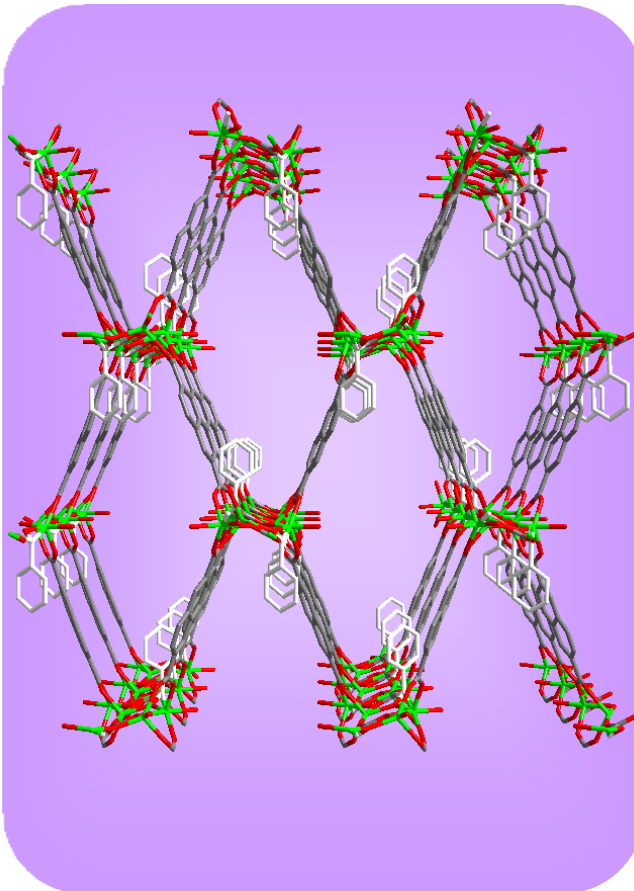
[Zn₂(bpdc)(R-man)]

Isoreticular chiral porous MOFs



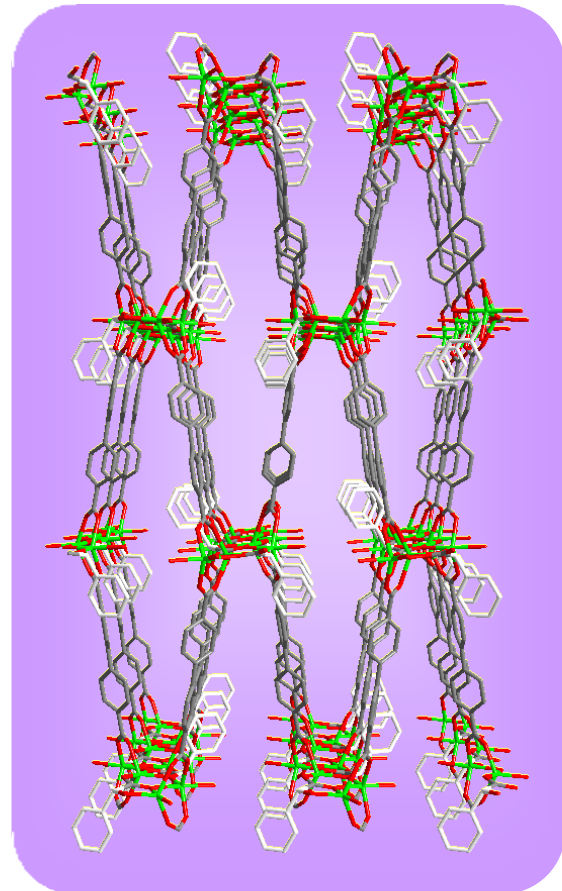
$[Zn_2(bdc)(S\text{-lac})]$

\emptyset channel $\approx 4 \times 5 \text{ \AA}$
 \emptyset window $\approx 5 \times 5 \text{ \AA}$



$[Zn_2(ndc)(R\text{-man})]$

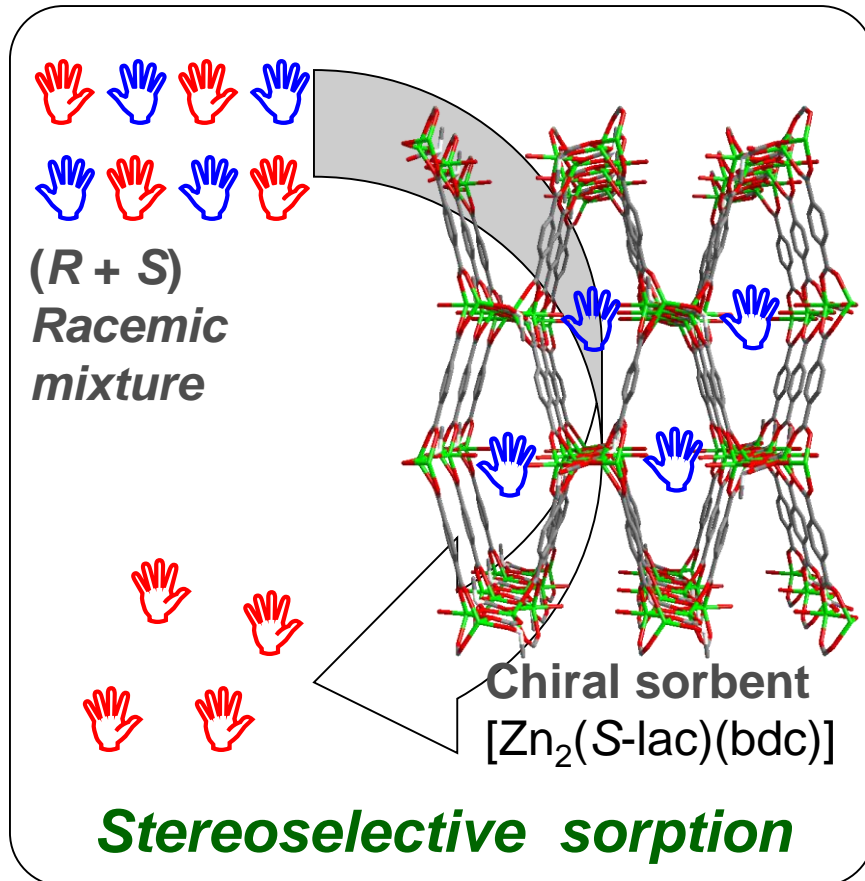
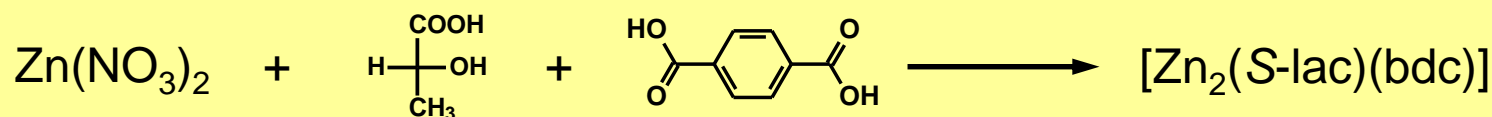
\emptyset channel $\approx 5 \times 9 \text{ \AA}$
 \emptyset window $\approx 4 \times 5 \text{ \AA}$



$[Zn_2(bpdc)(R\text{-man})]$

\emptyset channel $\approx 4 \times 14 \text{ \AA}$
 \emptyset window $\approx 6 \times 7 \text{ \AA}$

Enantioselective sorption

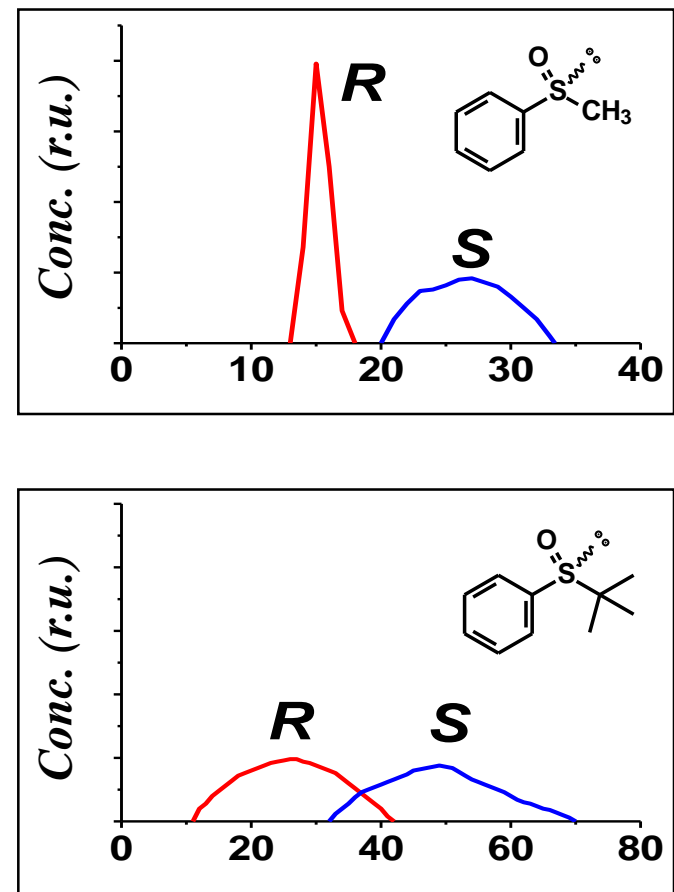
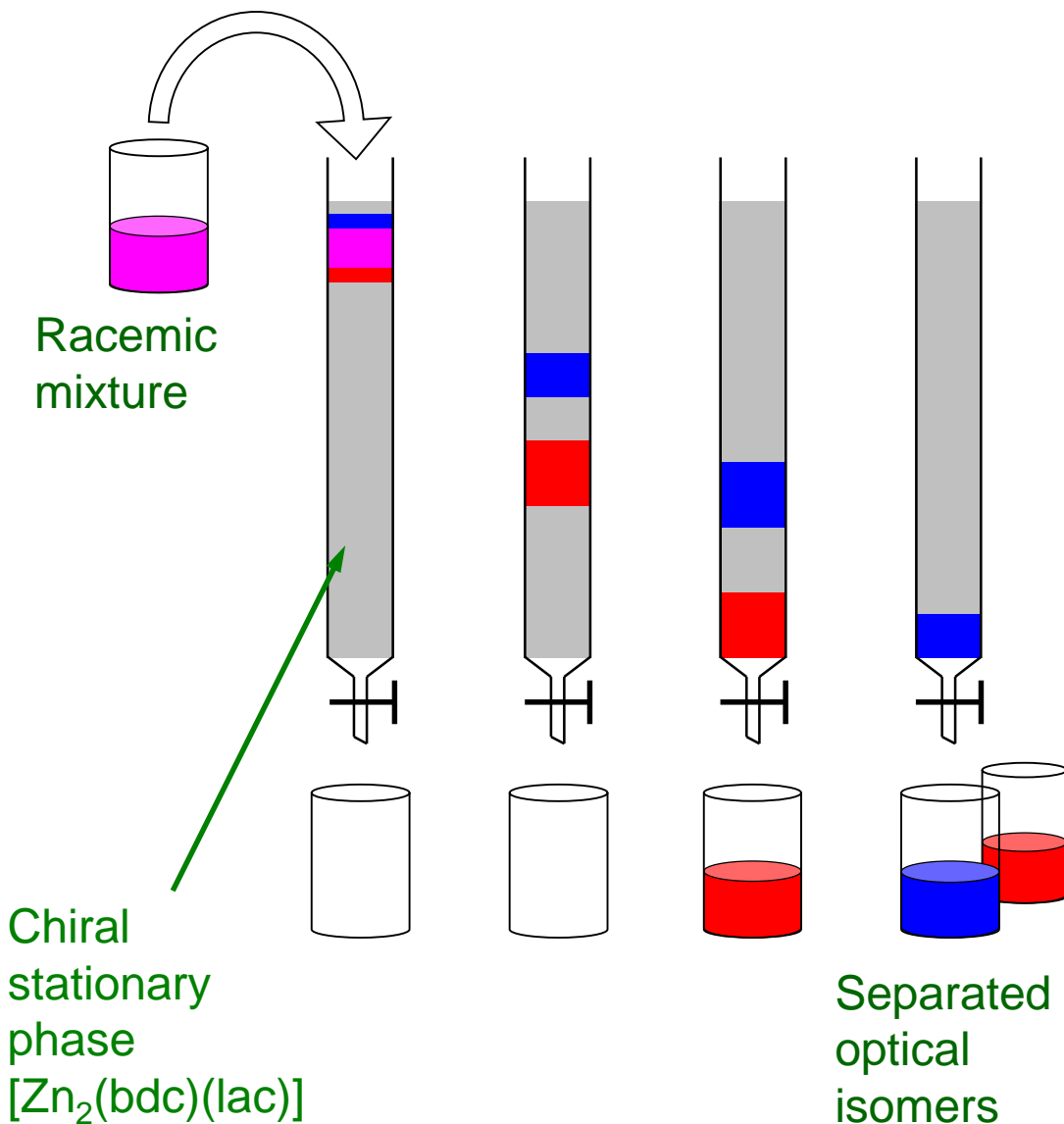


Enantiomeric excess (e.e.)

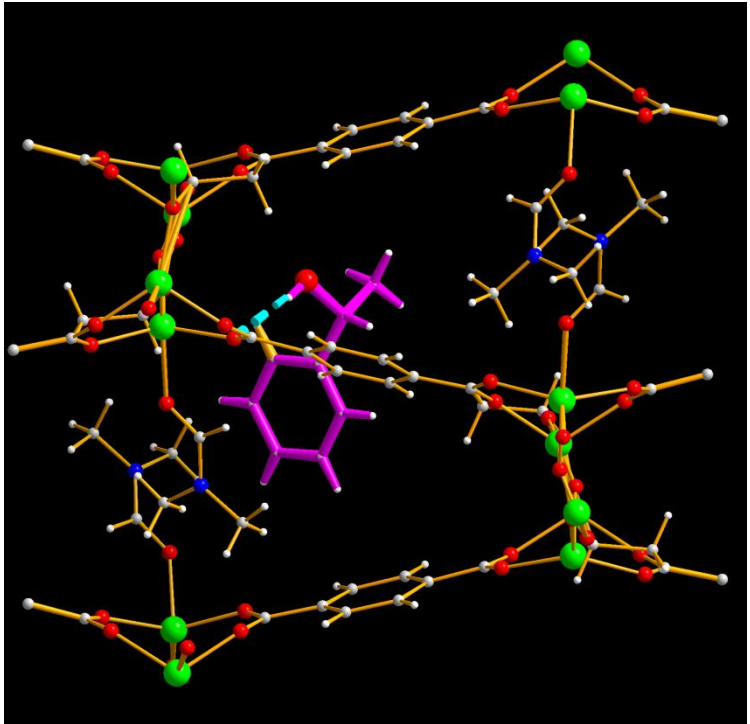
$$e.e. = ([R] - [S])/([R] + [S])$$

Substrate	e.e. (%)
<chem>CC(C)(C)[S+]([O-])c1ccccc1</chem>	60 (S)
<chem>CC(C)(C)[S+]([O-])c1ccccc1</chem>	55 (S)
<chem>CC(C)(C)[S+]([O-])c1ccccc1</chem>	21 (S)
<chem>CC(C)(C)[S+]([O-])c1ccccc1</chem>	25 (+)
<i>no sorption</i>	
<chem>CC(C)(C)[S+]([O-])c1ccc2ccccc2c1</chem>	20 (S)
<i>Sulforaphane</i>	

Enantioselective separation

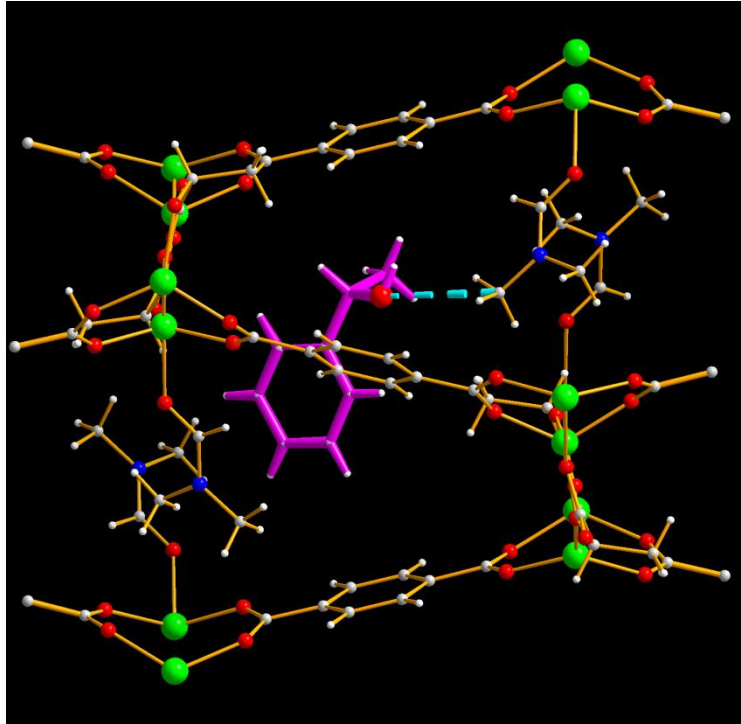


Chiral guest in chiral host [Zn₂(bdc)(S-lac)(dmf)]



R-PhEtOH@MOF

$$d(O \dots O) = 3.25 \text{ \AA}$$

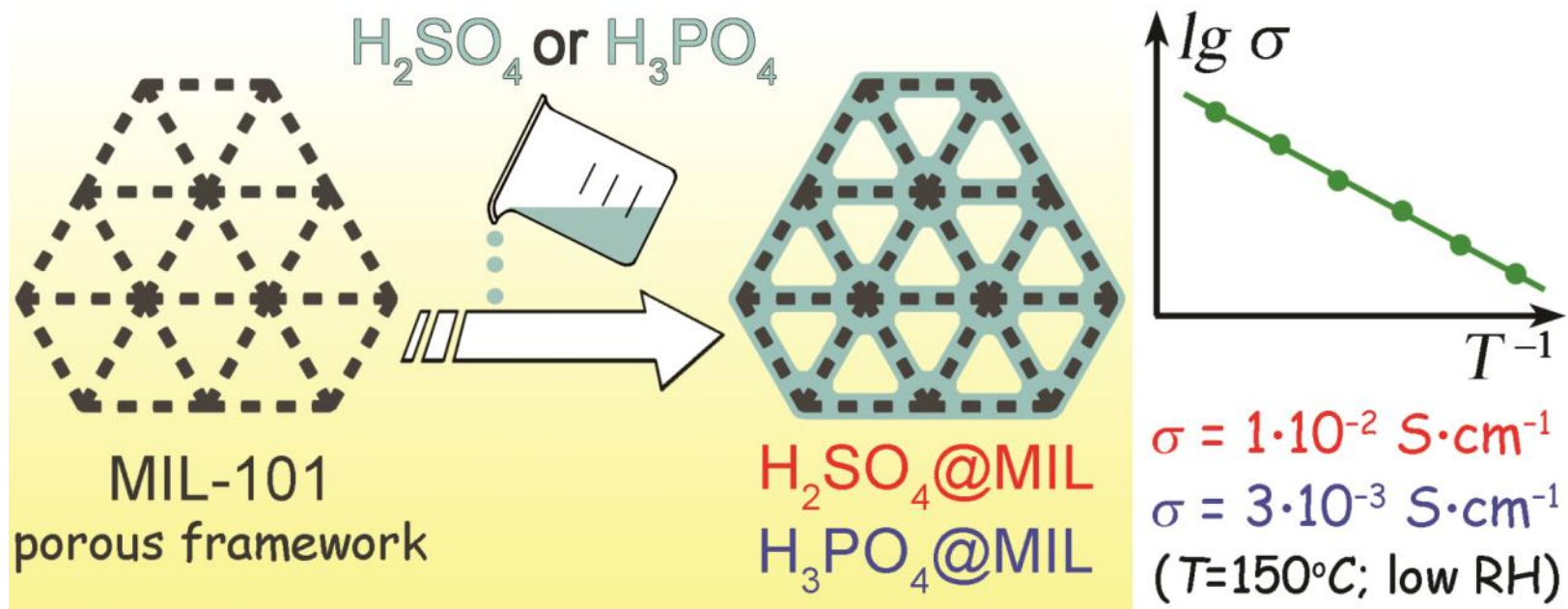


S-PhEtOH@MOF

$$d(O \dots C) = 3.33 \text{ \AA}$$

- 1) Эксперимент: более высокое сродство каркаса к S-PhEtOH (е.е. = 21%)
- 2) TG-DSC измерения: разложение S-PhEtOH@**MOF** происходит труднее, чем R-PhEtOH@**MOF** ($\Delta H \approx 20 \text{ kJ/mol}$)

Materials with high proton-conductivity

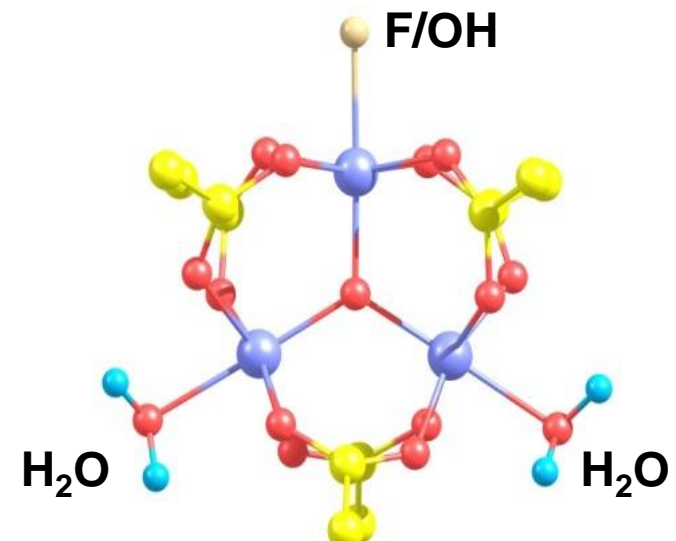
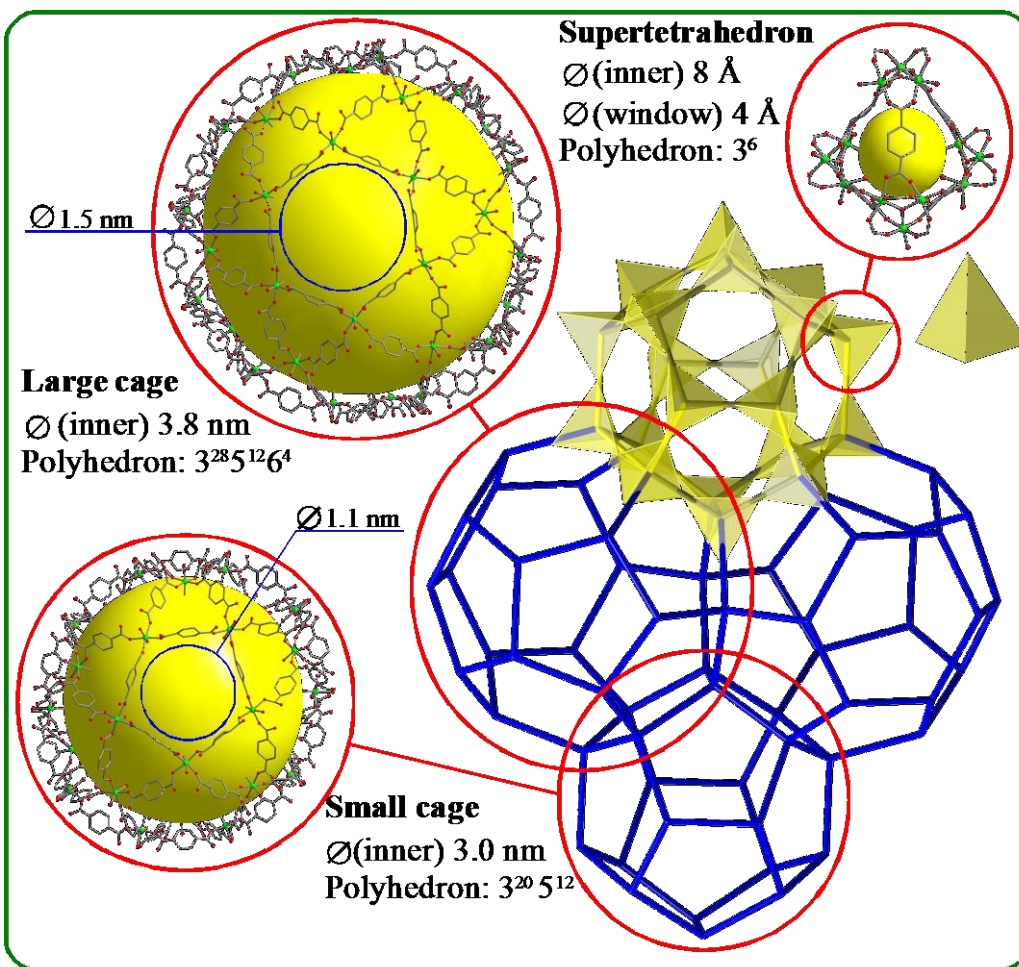


V.G. Ponomareva et al., *J. Am. Chem. Soc.*, **2012**, *134*, 15640

D.N. Dybtsev et al., *ACS Appl. Mater. Interfaces*, **2014**, *6*, 5161

V.G. Ponomareva et al., *RCS Advances*, **2017**, *7*, 403

MIL-101



Mesoporous MOF with MTN zeolytic topology
G. Ferey et al, *Science* 309 (2005) 2040

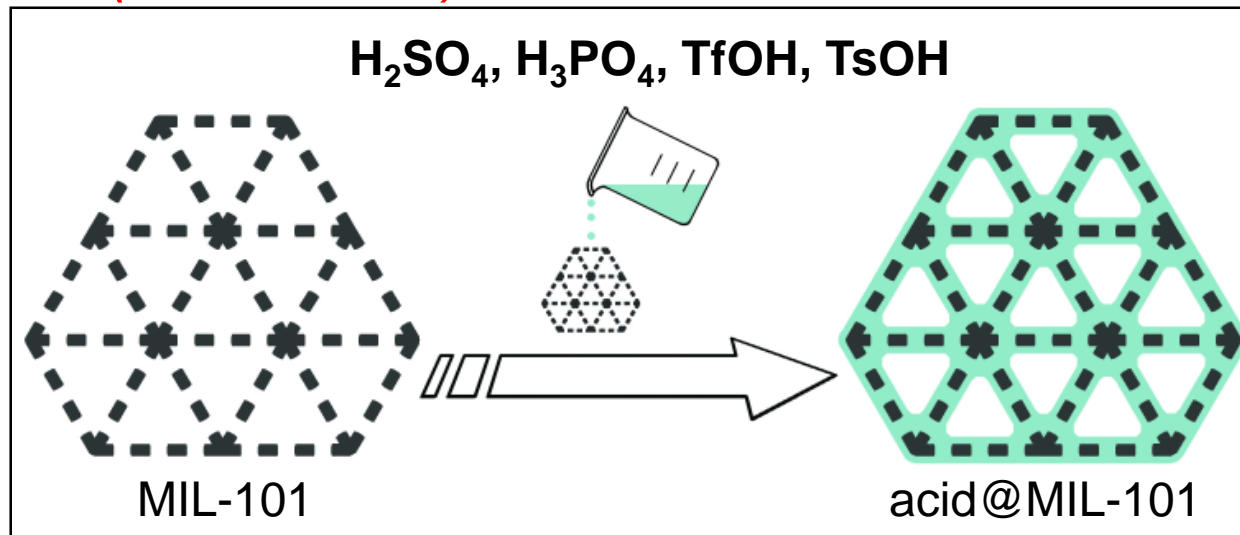
Imparting high proton conductivity to a MOF material by controlled acid impregnation

$$(\text{Proton conductivity}) \approx (\text{H}^+ \text{ mobility}) \times (\text{H}^+ \text{ concentration})$$

Strong (mineral) acids = ideal proton conductors

- 1) Liquids can not be used for membranes ??
- 2) Operating temperature of the fuel cell can must be 110 – 140 °C ??

Inclusion of strong and/or non-volatile acids into mesoporous (and stable!) MIL-101 !!!



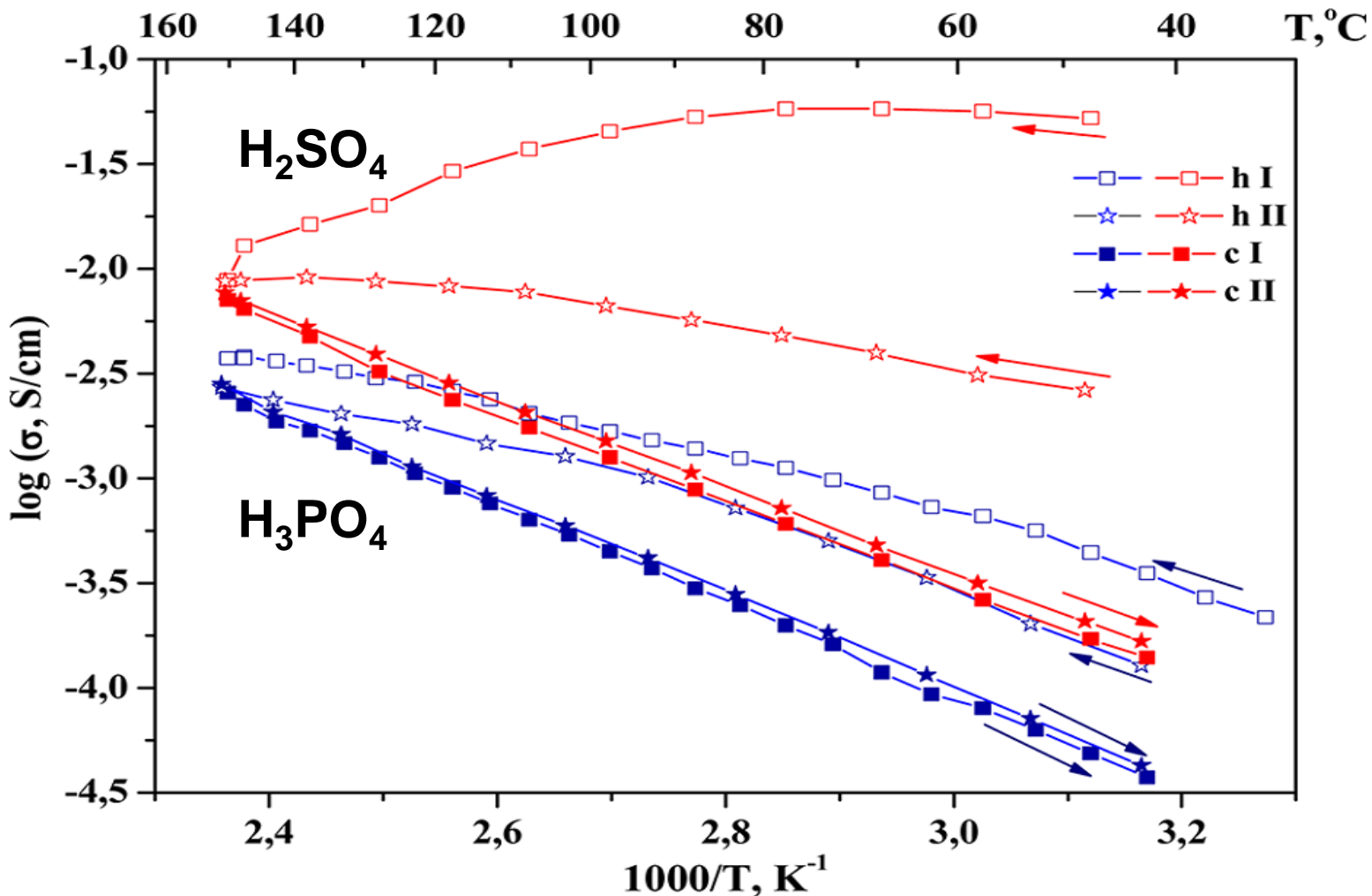
How to make acid@MIL-101

- 1) Soaking crystalline MIL-101 in an aqueous acid solution (2 - 4 M) for 30 min at room temperature
- 2) Filtration
- 3) drying at 60° C or in *vacuo*



The molar concentration of the acid in acid@MIL-101 corresponds to concentration of the initial aqueous solution (3 - 4 M).

H-conductivity of acid-impregnated MIL-101



- 1) Linear σ vs T plot as soon as the sample hydration is stabilized
- 2) Acid@MIL-101 materials are stable: no acid leaching, no framework deterioration after several measurements

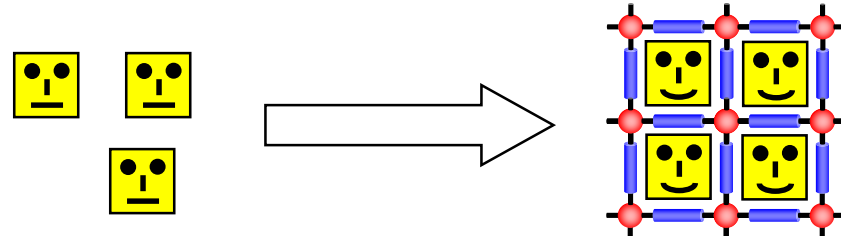
- Inclusion of strong acids does not destroy MIL-101 framework.
- Deviations in the values of proton conductivity in the heating and cooling regimes due to different moisture content in the sample. [The amount of acid is not changed](#).
- Samples at a constant humidity give reproducible proton conductivity.
- Maximum proton conductivity: $\sigma = 0.06 \text{ S/cm}$ for $\text{H}_2\text{SO}_4@\text{MIL-101}$ at 80°C and $\text{RH} \approx 10\%$.
- The proton conductivities of the $\text{H}_2\text{SO}_4@\text{MIL-101}$ and $\text{H}_3\text{PO}_4@\text{MIL-101}$ at $T = 150^\circ\text{C}$ and low humidity outperform any other MOF-based materials and could be compared with the best proton conductors, such as Nafion.

Nafion: $\sigma = 9 \cdot 10^{-3} \text{ S/cm}$ at 80°C and $\text{RH} = 34\%$.

Applications for porous MOFs

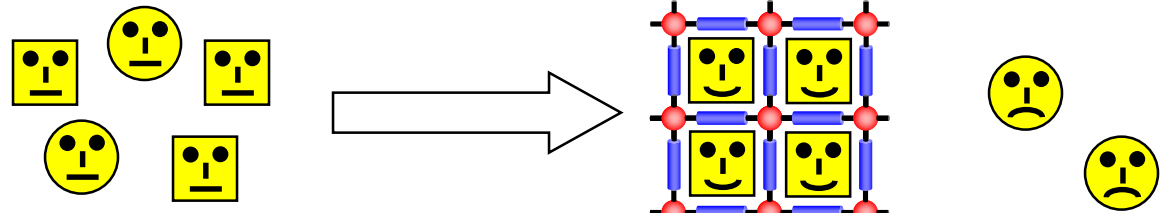
■ Storage and delivery:

- ▶ volatile gases (H_2 , CH_4 , C_2H_2 , CO_2)
- ▶ drugs



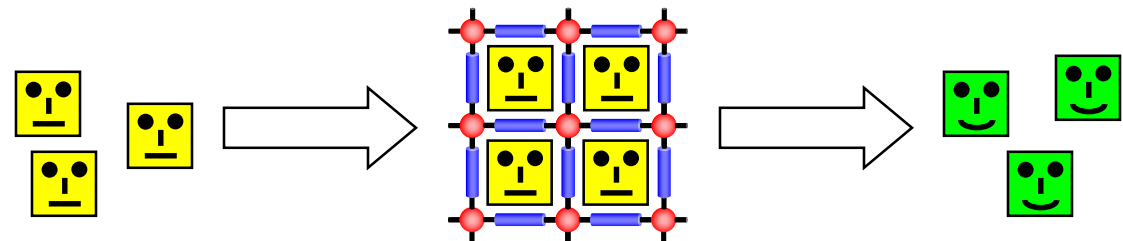
■ Selective sorption:

- ▶ gas molecules
- ▶ enantioseparation



■ Heterogeneous catalysis:

- ▶ Chiral catalysis



«ВЫВОДЫ»

- 1) Химия пористых МОКП (MOFs) чрезвычайно интенсивно развивается в последние годы, но, по-прежнему, остается «новой» областью междисциплинарных исследований.
- 2) Многие исследовательские группы со всего мира сообщают о получении новых MOF с сенсорными свойствами, протонной, ионной, электронной проводимостью, нелинейными оптическими свойствами, магнитными свойствами и т.д.
- 3) Очевидно, много новых структур с интересными новыми свойствами и применениями будут открыты в ближайшее время.
- 4) ПОСМОТРИТЕ БОЛЕЕ ВНИМАТЕЛЬНО НА ЭТИ СОЕДИНЕНИЯ.
ВОЗМОЖНО, ОНИ МОГУТ ОКАЗАТЬСЯ ПОЛЕЗНЫМИ ДЛЯ ВАШИХ
ИССЛЕДОВАНИЙ. ☺



**Лаборатория химии кластерных и
супрамолекулярных соединений ИНХ СО РАН**

Acknowledgments

Prof. K. Brilyakov and Prof. E. Talsi

Prof. O.A. Kholdeeva

Prof. V. Ponomareva

Prof. K. Kim

Prof. M. Schöder

Russian Science Foundation

Ministry of Science and Education

Russian Foundation for Basic Research

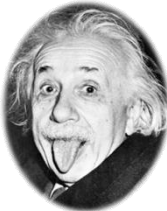


N* Новосибирский
государственный
университет
***НАСТОЯЩАЯ НАУКА**



**Институт неорганической химии
им. А.В. Николаева СО РАН**

АСПИРАНТУРА ИНХ СО РАН



ИНХ СО РАН является лидирующим научным центром
России в области химии

Аспирантура ИНХ СО РАН аккредитована по направлению
«Химические науки» по специальностям **неорганическая
химия, физическая химия, аналитическая химия**

- ✓ актуальные и амбициозные научные задачи
- ✓ публикации в высокорейтинговых журналах
- ✓ навыки работ на современном научном оборудовании
- ✓ международное сотрудничество и зарубежные стажировки
- ✓ стипендии им. А.В. Николаева, гранты и стипендии
Президента РФ, другие престижные награды

Вступительные экзамены:
«общая химия»
«иностранный язык»

Всего два
экзамена!

По всем вопросам обращаться:
Ирина Валентиновна Андриенко
8-383-330-92-56

andrienko@niic.nsc.ru



Этот е-мэйл может изменить твою жизнь!

